

# 振動・波動論

2013年度 冬学期 金曜3限 担当教員：吉岡大二郎  
作：理一14組 糟谷直孝・渡邊省吾

- 学生の単位キラーこと吉岡大二郎先生の「振動・波動論」のシケプリです。
- 授業で使われている教科書は「振動と波動」(吉岡大二郎著、東京大学出版会)です。
- このシケプリは手書きですので字が汚いこと、また文章が拙いこと等はご容赦ください。
- 構成は全6章からなっていますが、そもそも上記の教科書が要点が論理的に美しく述べられているので、このシケプリは“教科書を読んでいる時間がない人”や“教科書が細かすぎて逆に理解不能に陥った人”などが使ってください。一応、まじめに学習してきた方も満足できるよう努力しましたが。
- 吉岡大二郎先生の期末試験の過去問を見る限り、教科書がほとんどまんま出るので(だからといって決して簡単ではありません。教科書を理解するのが困難なのですから。)このシケプリも教科書にかなり準じました。
- 試験に出ないと思われる範囲は飛ばしました。
- 振動・波動論は身近に存在する“波”を扱っているだけでなく、量子力学にもつながる重要な学問です。がんばりましょう。

# 構成

- 第1章 1つの質点の振動
  - 1.1 単振動
  - 1.2 減衰振動
  - 1.3 パラメタ励振
  - 1.4 強制振動
- 第2章 連成振動
  - 2.1 2つの調和振動子の系
  - 2.2 基準振動と基準座標
  - 2.3 3質点系
- 第3章 弦の振動
  - 3.1 N個の質点の連成振動
  - 3.2 固有ベクトルと基準座標
  - 3.3 弦
  - 3.4 波動方程式の解法
  - 3.5 波の透過と反射
- 第4章 フーリエ級数・フーリエ積分
  - 4.1 フーリエ級数
  - 4.2 完全性とδ関数
  - 4.3 フーリエ積分
- 第5章 3次元の波動
  - 5.1 空気の振動
  - 5.2 長い管の中の音波
  - 5.3 3次元の波動方程式
  - 5.4 水の波
- 第6章 波の干渉
  - 6.1 波束と群速度
  - 6.2 回折

範囲めちゃくちゃ広いな(泣)

※ 数式の横に記入されている番号（例：(6.42)）はいきなり飛ぶことがあります。  
教科書の式番号に合わせてあるだけなので、気にしないでください。

# 第1章 1つの質点の振動

## 1.1 単振動

ここは夏学期の力学で既に学んでいますと思うので、軽めに。

$x$  軸上を運動する質量  $m$  の物体に力  $F = -kx$  のみが働いているところと、運動方程式は、

$$m\ddot{x} = -kx \quad (1.1)$$

と表される。この2階線形微分方程式の一般解は、角振動数を  $\omega_0 = \sqrt{k/m}$  とすると

$$x(t) = A \cos(\omega_0 t + \alpha) \quad (1.2)$$

となる。この運動を 単振動 または 調和振動 といつ。

$A$ : 振幅,  $\omega_0 t + \alpha$ : 位相 (phase),  $\alpha$ : 初期位相。

$f \equiv \frac{\omega_0}{2\pi}$  : 振動数 (固波数) [Hz],  $T \equiv \frac{1}{f}$  : 周期 [s]

→ 単振動の周期は運動方程式によく決定し、初期条件とは無関係である。これを 等時性 といつ。



単振動のエネルギーの考察。

$$\text{運動エネルギー } E_{\text{KE.}} = \frac{1}{2} m \dot{x}^2 = \frac{1}{2} m \omega_0^2 A^2 \sin^2(\omega_0 t + \alpha) \quad (1.4)$$

$$\begin{aligned} \text{ポテンシャルエネルギー } U &= \frac{1}{2} kx^2 = \frac{1}{2} k A^2 \cos^2(\omega_0 t + \alpha) \\ (\text{基準は } x=0) &= \frac{1}{2} m \omega_0^2 A^2 \cos^2(\omega_0 t + \alpha) \end{aligned} \quad (1.5)$$

$$\text{全エネルギー } E_{\text{KE.}} + U = \frac{1}{2} m \omega_0^2 A^2 = \text{const.}$$

→ 一定に保存される。

※ 具体例として、「ばねに吊された物体」、「振り子」、「任意のポテンシャル下での微小運動」、「電気回路」、「ビンの空気の振動」がありますが、どれも重要(出題されやすい)なので教科書を参照して下さい。以降、具体例は極力割愛します。

## 1.2 減衰振動

現実世界では空気抵抗や摩擦力があり、振幅は減少していく。

→ そこで今日は、速度に比例する抵抗力が働くときの運動を考える。



球状の物体には、半径を $a$ 、空気の粘性係数を $\eta$ とすると、 $v$ に比例する $6\pi a \eta v$ の抵抗力が働くことが知られる。

→ 運動方程式は、

$$m\ddot{x} = -kx - 6\pi a \eta \dot{x} \quad (1.29)$$

ここで  $6\pi a \eta \equiv 2\gamma m$  とすると、式(1.29)は

$$m\ddot{x} = -kx - 2\gamma m \dot{x} \quad \therefore \quad \ddot{x} + 2\gamma \dot{x} + \omega_0^2 x = 0 \quad (1.32)$$

という形になる。



$C$ は初期条件を決める。この段階では任意。

[重要] 線形微分方程式の一般解法 :  $x = Ce^{\lambda t}$  と仮定し、 $x$ を求める

$x = Ce^{\lambda t}, \dot{x} = \lambda C e^{\lambda t} = \lambda x, \ddot{x} = \lambda^2 C e^{\lambda t} = \lambda^2 x$  より 式(1.32)は。

$$(\lambda^2 + 2\gamma\lambda + \omega_0^2)x = 0 \quad (1.36)$$

となる。ここで  $x=0$  は「自明な解」または「つまらない解」といふ。

$$\lambda \neq 0 \text{ のとき } \lambda^2 + 2\gamma\lambda + \omega_0^2 = 0 \text{ となり}$$

$$\lambda_{\pm} = -\gamma \pm \sqrt{\gamma^2 - \omega_0^2} \quad (1.37)$$

の2つの解が求まる。

これを  $\gamma > \omega_0$  (過減衰),  $\gamma = \omega_0$  (臨界減衰),  $\gamma < \omega_0$  (減衰振動)

に分け、それぞれの具体的な解 $x(t)$ を求めていく。

(i)  $\gamma > \omega_0$  のとき (過減衰解)式(1.37)  $\lambda_{\pm} = -\gamma \pm \sqrt{\gamma^2 - \omega_0^2}$  は負の実数となり

$$x(t) = C_+ e^{\lambda_+ t} + C_- e^{\lambda_- t} \quad (1.38)$$

が一般解となる。 $(C_+, C_-$  は任意定数)

※ ここでは ① 線形微分方程式の解は定数倍しても解となる, ② 2つの解の和もまた解となる。この "重ね合わせ" を用いた。

 $\rightarrow x$  と  $\dot{x}$  の  $t=0$  での条件 (初期条件) から  $C_+$  と  $C_-$  は決まる。 $\rightarrow$  指数関数的に減少していくのが "過減衰" と呼ばれる。(ii)  $\gamma = \omega_0$  のとき (臨界減衰解)式(1.37) は  $\lambda_{\pm} = \lambda = -\gamma = -\omega_0$  となり解は  $x = C e^{-\omega_0 t}$  となる。つまり「

「2階の微分方程式は2つの任意定数を含む」」という数学的事実を利用すると、改めて

 $x = A(t) e^{-\omega_0 t}$  とおいてみた方がよい。つまり  $A(t)$  を2つの任意定数を含んで形にしてみるのだ。このとき式(1.32)  $\ddot{x} = A(t) e^{-\omega_0 t}$  を代入して、整理すると。

$$\ddot{A} = 0 \quad (1.47)$$

が得られる。つまり  $\dot{A} = A_0$ ,  $A = A_1 t + A_0$  ( $A_1, A_0$  は任意定数) が決まる。一般解は

$$x(t) = (A_1 t + A_0) e^{-\omega_0 t} \quad (1.50)$$

となる。このときが最も速く減衰する。

番号から  
前後にはほか  
気にならざ  
くござい。

(iii)  $\gamma < \omega_0$  のとき (減衰振動解)

式(1.37) は。

$$\lambda_{\pm} = -\gamma \pm i\sqrt{\omega_0^2 - \gamma^2} \quad (1.39)$$

となり複素数解となる。オイラーの公式  $e^{\pm i\theta} = \cos\theta \pm i\sin\theta$  を用いると

$$\begin{aligned} e^{\lambda_{\pm} t} &= e^{-\gamma t} \cdot e^{\pm i\sqrt{\omega_0^2 - \gamma^2} t} \\ &= e^{-\gamma t} \cdot (\cos\sqrt{\omega_0^2 - \gamma^2} t \pm i\sin\sqrt{\omega_0^2 - \gamma^2} t) \end{aligned} \quad (1.41)$$

と変形できる。

→ 今回は複素数解なので過減衰解と同様に  $C_+$  を掛け足し合わせるときに注意が必要。一般解は

$$x(t) = C_+ e^{\lambda_+ t} + C_- e^{\lambda_- t} \quad (1.42)$$

これは  $x(t)$  が実数でなければなりません。換言すれば、 $x(t)$  は複素共役  $x^*(t)$  に等しくなければいけない。

$$\rightarrow \lambda_{\pm}^* = \lambda_{\mp} \text{ たゞもし}, \quad x^*(t) = C_+^* e^{\lambda_- t} + C_-^* e^{\lambda_+ t} \quad (1.43) \text{ となり。}$$

$$x(t) = x^*(t) \Rightarrow \underbrace{C_{\pm}}_{\text{得する。}} = \underbrace{C_{\mp}^*}_{\text{得する。}}$$

→  $C_{\pm} \in \mathbb{R}$  としますと、2つの任意定数は等くなり、一般解を表すのに任意定数が足りない。

→  $C_{\pm}$  は複素数を考えるべき。

[重要] 一般の複素数はその絶対値と偏角を用いて  $C = |c| e^{i\alpha}$  と表せる。

ここで  $C_{\pm} = A e^{\pm i\alpha}$  とおく。式(1.42)は

$$x(t) = C_+ e^{\lambda_+ t} + C_- e^{\lambda_- t}$$

$$= A e^{i\alpha} e^{(-r+i\sqrt{\omega_0^2-r^2})t} + A e^{-i\alpha} e^{(-r-i\sqrt{\omega_0^2-r^2})t}$$

$$= A(\cos\alpha + i\sin\alpha) e^{-rt} (\cos\sqrt{\omega_0^2-r^2}t + i\sin\sqrt{\omega_0^2-r^2}t)$$

$$+ A(\cos\alpha - i\sin\alpha) e^{-rt} (\cos\sqrt{\omega_0^2-r^2}t - i\sin\sqrt{\omega_0^2-r^2}t)$$

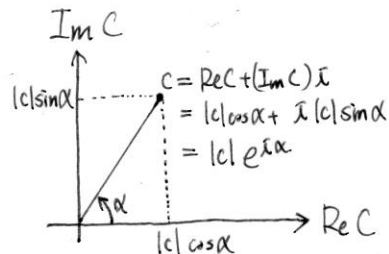
$$= 2A e^{-rt} (\cos\alpha \cos\sqrt{\omega_0^2-r^2}t - \sin\alpha \sin\sqrt{\omega_0^2-r^2}t)$$

$$= 2A e^{-rt} \cos(\sqrt{\omega_0^2-r^2}t + \alpha) \quad (1.44)$$

これが一般解である。これは

$$x(t) = 2 \operatorname{Re}(C_+ e^{\lambda_+ t}) \quad (1.45)$$

も書ける。(これ書き方が楽だ。)



## 1.4 強制振動

今度は外力が働くときの運動、すなはち強制振動を考える。

ハネに付いた物体に外力が働くときの運動方程式は

$$m\ddot{x} + 2m\gamma\dot{x} + m\omega_0^2 x = f(t) \quad (1.62)$$

→  $f(t)$  は任意だが、周期的でない力もフーリエ級数（後述）を用ひる

$$f(t) = \sum_{x=1}^{\infty} F_x \cos(\omega_x t + \alpha_x) \quad (1.64)$$

と表せるので、以下では  $f(t) = F \cos \omega t$  として考えよう。

（線形微分方程式的解の重ね合わせ則、 $F \cos(\omega_x t + \alpha_x)$  のときの解を  $x_x$  とすると  $x = \sum_{x=1}^{\infty} x_x$  となる）



以降でも頻繁に使うので覚えておこう。これは、「複素数の範囲に拡張して解を求める、最後に実数に戻す」というものだ。

→  $Z = x + iy$  とする。解  $Z(t)$  を求めよう。 $(1.62)$  は

$$m\ddot{Z} + 2m\gamma\dot{Z} + m\omega_0^2 Z = F e^{i\omega t} \quad (1.65)$$

であり、実部と虚部は

$$\begin{aligned} (\text{実}) \quad m\ddot{x} + 2m\gamma\dot{x} + m\omega_0^2 x &= F \cos \omega t \\ (\text{虚}) \quad m\ddot{y} + 2m\gamma\dot{y} + m\omega_0^2 y &= F \sin \omega t \end{aligned} \quad \left. \begin{array}{l} \text{位相をずらせば同じ。} \\ \downarrow \end{array} \right\}$$

$Z$  の一般解は「特解」（方程式は満たすが、任意定数が足りない）と  $F=0$  のときの解の和で表される。 $F=0$  のときは減衰振動解である。これから特解を求めていく。



□ 強制振動は時間が十分に経てば外力の振動数で運動する。由

→  $Z(t) = A e^{i\omega t}$  とおいてみる。 $(1.65)$  に代入すると

$$(-m\omega^2 + 2im\gamma\omega + m\omega_0^2) A e^{i\omega t} = F e^{i\omega t} \quad (1.66)$$

従って  $A$  が求まる。

$$A = \frac{F}{m(\omega_0^2 - \omega^2 + 2im\gamma\omega)} \quad (1.67)$$

従って変位と速度は、

$$Z(t) = \frac{F}{m(\omega_0^2 - \omega^2 + 2\gamma\omega)} e^{i\omega t} \equiv \frac{1}{i\omega Z} F e^{i\omega t} \quad (1.70)$$

$$\dot{Z}(t) = \frac{1}{Z} F e^{i\omega t} \quad (1.71)$$

$$(Z \equiv \frac{m(\omega_0^2 - \omega^2 + 2\gamma\omega)}{i\omega} : \text{力学的インピーダンス, 力と速度の比(1.71)より})$$

*Zと  
まるかわらじゆく*

最終目標は  $x(t) = \operatorname{Re}(Z(t))$  を求めることとする。  $i\omega Z$  を絶対値と偏角で用ひて表す。

$$\begin{aligned} \rightarrow i\omega Z &= m(\omega_0^2 - \omega^2 + 2\gamma\omega) \\ &= \sqrt{m(\omega_0^2 - \omega^2 + 2\gamma\omega) \times m(\omega_0^2 - \omega^2 - 2\gamma\omega)} e^{i\phi} \\ &= m \sqrt{(\omega_0^2 - \omega^2)^2 + 4\gamma^2\omega^2} e^{i\phi} \end{aligned} \quad (1.73)$$

$$(\tan \phi = \frac{2\gamma\omega}{\omega_0^2 - \omega^2})$$

$$\begin{cases} c = a + bi \text{ とおぼえ} \\ |c| = \sqrt{c \cdot c^*} \end{cases}$$

$$\rightarrow z(t) = \frac{F}{m \sqrt{(\omega_0^2 - \omega^2)^2 + 4\gamma^2\omega^2}} e^{i(\omega t - \phi)} \quad (1.75)$$

左辺<sup>2</sup> 求めるべき一般解と速度は、

$$\left\{ \begin{array}{l} x(t) = \operatorname{Re}(z(t)) = \frac{F}{m \sqrt{(\omega_0^2 - \omega^2)^2 + 4\gamma^2\omega^2}} \cos(\omega t - \phi) \\ \dot{x}(t) = -\frac{F\omega}{m \sqrt{(\omega_0^2 - \omega^2)^2 + 4\gamma^2\omega^2}} \sin(\omega t - \phi) \end{array} \right. \quad (1.76)$$

$$\left\{ \begin{array}{l} x(t) = \operatorname{Re}(z(t)) = \frac{F}{m \sqrt{(\omega_0^2 - \omega^2)^2 + 4\gamma^2\omega^2}} \cos(\omega t - \phi) \\ \dot{x}(t) = -\frac{F\omega}{m \sqrt{(\omega_0^2 - \omega^2)^2 + 4\gamma^2\omega^2}} \sin(\omega t - \phi) \end{array} \right. \quad (1.77)$$

です。



強制振動の一般解は 特解と減衰振動解を足し合わせればいいから、

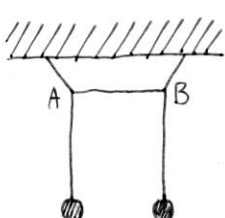
十分に時間が経て後、後の振る舞いはこの特解でいい。

→ 最大振幅は、 $\min(\sqrt{(\omega_0^2 - \omega^2)^2 + 4\gamma^2\omega^2})$  となる  $\omega$ 、つまり  $\omega = \sqrt{\omega_0^2 - 2\gamma^2}$  で実現。  
これは 共振 または 共鳴 といふ。

\* 教科書を参照：「1.5.2 エネルギー吸収」、「1.6 単振動と複素平面での回転」

## 第2章 連成振動

### 2.1 2つの調和振動子の系



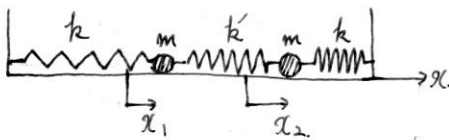
連成振り子。

左図は連成振動子の典型である。

初めに一方を振る  $\rightarrow$  振動は次第に他方に移り、初めの振り子は止まる  
 $\rightarrow$  初めの振り子が再び振動し始めると  $\rightarrow$  他方は止まっていく。 $\rightarrow \dots$



このように連成振動では、振動のエネルギーが往々り來たりするのである。



本来、観測には適不适合化しておるので左図の  
バネにつながれた物体の系で運動方程式を立てよ。

$$\begin{cases} m\ddot{x}_1 = -kx_1 + k(x_2 - x_1) \\ m\ddot{x}_2 = -kx_2 - k(x_2 - x_1) \end{cases} \quad (2.1)$$

和と差を作り解く

和 :  $m(\ddot{x}_1 + \ddot{x}_2) = -k(x_1 + x_2) \quad (2.5)$

$$\rightarrow \omega_1^2 = \frac{k}{m} \text{ rad.}$$

$$x_1 + x_2 = A \cos(\omega_1 t + \alpha) \quad (2.7)$$

差 :  $m(\ddot{x}_1 - \ddot{x}_2) = -(k + 2k')(x_1 - x_2) \quad (2.8)$

$$\rightarrow \omega_2^2 = \frac{k+2k'}{m} \text{ rad.}$$

$$x_1 - x_2 = B \cos(\omega_2 t + \beta) \quad (2.9)$$

$\rightarrow (2.7) \text{ と } (2.9) \text{ は } \perp$

$$\begin{cases} x_1(t) = \frac{A}{2} \cos(\omega_1 t + \alpha) + \frac{B}{2} \cos(\omega_2 t + \beta) \\ x_2(t) = \frac{A}{2} \cos(\omega_1 t + \alpha) - \frac{B}{2} \cos(\omega_2 t + \beta) \end{cases} \quad (2.11)$$

$$\begin{cases} x_1(t) = \frac{A}{2} \cos(\omega_1 t + \alpha) + \frac{B}{2} \cos(\omega_2 t + \beta) \\ x_2(t) = \frac{A}{2} \cos(\omega_1 t + \alpha) - \frac{B}{2} \cos(\omega_2 t + \beta) \end{cases} \quad (2.12)$$

2つの振動数の単振動の和で表せた。

↓

一般に2つの異なる振動数をもつた準振動の重ね合わせは“うなり”といふ現象を起す。  $k' \ll k$  として解の様子を考える。

$$k' \ll k, \quad \omega_1^2 = \frac{k}{m}, \quad \omega_2^2 = \frac{k+k'}{m} \Rightarrow \omega_2 = \omega_1 + \Delta\omega \quad \text{と} \quad \Delta\omega \ll \omega_1 \text{ である。}$$

このときの  $\chi_1(t)$  の時間変化を複素変数  $\chi$  の助けて借りて見よう。

↓

$$\left\{ \begin{array}{l} \chi_1(t) = \operatorname{Re}[\chi(t)] \\ \chi(t) = \chi_A(t) + \chi_B(t) \end{array} \right. \quad (2.13)$$

$$\chi_A(t) = \frac{A}{2} e^{i(\omega_1 t + \alpha)} \quad (2.14)$$

$$\chi_B(t) = \frac{B}{2} e^{i(\omega_2 t + \beta)} = \frac{B}{2} e^{i[(\omega_1 + \Delta\omega)t + \beta]} \quad (2.15)$$

$$\left\{ \begin{array}{l} \chi_1(t) = \operatorname{Re}[\chi(t)] \\ \chi(t) = \left( \frac{A}{2} + \frac{B}{2} e^{i(\Delta\omega t + \beta - \alpha)} \right) e^{i(\omega_1 t + \alpha)} \end{array} \right. \quad (2.16)$$

つまり、これより

$$\chi(t) = \left( \frac{A}{2} + \frac{B}{2} e^{i(\Delta\omega t + \beta - \alpha)} \right) e^{i(\omega_1 t + \alpha)} \quad (2.17)$$

$$= C(t) e^{i(\omega_1 t + \alpha + \phi(t))} \quad (2.18)$$

$$\left\{ \begin{array}{l} C(t) e^{i\phi(t)} \equiv \frac{A}{2} + \frac{B}{2} e^{i(\Delta\omega t + \beta - \alpha)} \quad (\text{絶対値と偏角で表示。}) \\ C(t) = \sqrt{\left( \frac{A}{2} + \frac{B}{2} \cos(\Delta\omega t + \beta - \alpha) + i \frac{B}{2} \sin(\Delta\omega t + \beta - \alpha) \right) \left( \frac{A}{2} + \frac{B}{2} \cos(\Delta\omega t + \beta - \alpha) - i \frac{B}{2} \sin(\Delta\omega t + \beta - \alpha) \right)} \\ = \frac{1}{2} \sqrt{A^2 + B^2 + 2AB \cos(\Delta\omega t - \alpha + \beta)} \\ \tan(\phi(t)) = \frac{B \sin(\Delta\omega t - \alpha + \beta)}{A + B \cos(\Delta\omega t - \alpha + \beta)} \end{array} \right.$$

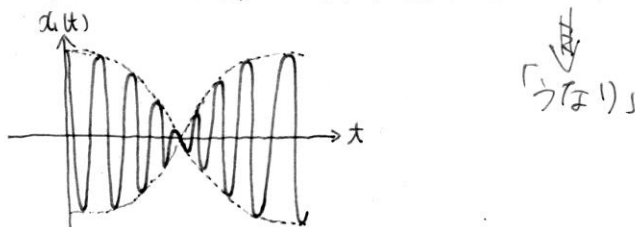
と表せる。この結果。

$$\chi_1(t) = C(t) \cos[\omega_1 t + \alpha + \phi(t)] \quad (2.21)$$

つまり。

→  $C(t)$  と  $\phi(t)$  は角振動数  $\Delta\omega = \omega_2 - \omega_1$  でいくつり変化するので、速い振動の1周期  $T_1 = \frac{2\pi}{\omega_1}$  の間にではほぼ一定となる。

→  $\chi_1(t)$  はほぼ  $\omega_1$  で振動し、その振幅  $C(t)$  は  $\Delta\omega$  でいくつりと増減する。



## 2.2 基準振動と基準座標

連成振動の考察を経て、基準振動という概念を導入する。

式(2.11), (2.12)は例えには  $B=0$  とみる。

$$\alpha_1 = \frac{A}{2} \cos(\omega_1 t + \alpha), \quad \alpha_2 = \frac{A}{2} \cos(\omega_2 t + \alpha)$$

となる。このように連成振動の全体が 1つの振動数で振動するとき、その様子を 基準振動、その振動数を 基準振動数と呼びる。

→ 以後明記にならぬが、一般解はすべての基準振動の和で表せる。



変位の和と差に対して次のように新しい表記を導入する。

$$\left\{ \begin{array}{l} Q_1 = \frac{1}{\sqrt{2}}(\alpha_1 + \alpha_2) = \frac{A}{\sqrt{2}} \cos(\omega_1 t + \alpha) \\ Q_2 = \frac{1}{\sqrt{2}}(\alpha_1 - \alpha_2) = \frac{B}{\sqrt{2}} \cos(\omega_2 t + \beta) \end{array} \right. \quad (2.24)$$

$$\left\{ \begin{array}{l} Q_1 = \frac{1}{\sqrt{2}}(\alpha_1 + \alpha_2) \\ Q_2 = \frac{1}{\sqrt{2}}(\alpha_1 - \alpha_2) \end{array} \right. \quad (2.25)$$

→  $Q_1(t)$  と  $Q_2(t)$  は 基準座標 と呼ばれる。基準座標の運動方程式は、

$$\ddot{Q}_1 = -\omega_1^2 Q_1 \quad (2.26)$$

$$\ddot{Q}_2 = -\omega_2^2 Q_2 \quad (2.27)$$

(なりとも) 単振動型となる。

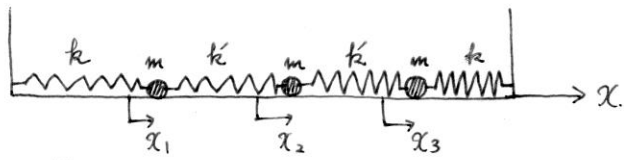
※ E.E. と U を  $Q_1$  と  $Q_2$  を経由して表記しても明確だが  $\alpha_1$  と  $\alpha_2$  が從属であるのに對し、 $Q_1$  と  $Q_2$  は互いに独立である。

※  $\alpha_1$  と  $\alpha_2$  を  $Q_1$  と  $Q_2$  で表すこと（運動で別の角度から見ること）は、

座標回転に対応する。すなはち、 $\alpha_1, \alpha_2$  のままでうなりのような複雑な運動をこのように見えなか、基準座標  $Q_1$  と  $Q_2$  に直すと單振動としているのである。

## 2.3 3質点系

2質点系の連成振動が基準座標の和で書けること分かるので、次に3質点系の連成振動を考える。



運動方程式は。

$$\begin{cases} m\ddot{x}_1 = -kx_1 + k'(x_2 - x_1) \\ m\ddot{x}_2 = -k'(x_2 - x_1) + k'(x_3 - x_2) \\ m\ddot{x}_3 = -k'(x_3 - x_2) - kx_3 \end{cases} \quad (2.35)$$

→ 2質点系のときのように和と差とつけても解けない。そこで一般の質点数でも解ける強力な方法を用いる。

→ その方法とはこの場合には基準振動が現れるかと想定し、 $x_f = C_f e^{i\omega t}$  ( $f=1,2,3$ ) とするとことである。(ただし解を複素数にまで拡張している)  
↑  $\omega$  は  $f=1,2,3$  に共通。

式(2.35)に  $x_f = C_f e^{i\omega t}$  を代入すると次のようになる。

$$\begin{cases} (k+k'-m\omega^2)C_1 - k'C_2 = 0 \\ -k'C_1 + (2k'-m\omega^2)C_2 - k'C_3 = 0 \\ -k'C_2 + (k+k'-m\omega^2)C_3 = 0 \end{cases} \quad (2.36)$$

→  $C_f$  を求める山手<sup>1</sup>の2<sup>2</sup>。  $C_f \neq 0$  の解の存在条件は、係数行列の行列式が0になることである。

$$\begin{vmatrix} k+k'-m\omega^2 & -k' & 0 \\ -k' & 2k'-m\omega^2 & -k' \\ 0 & -k' & k+k'-m\omega^2 \end{vmatrix} = 0 \quad (2.37)$$

$$\therefore (k+k'-m\omega^2)^2(2k'-m\omega^2) - 2(k+k'-m\omega^2)k'^2 = 0$$

$$\therefore (k+k'-m\omega^2)[(k+k'-m\omega^2)(2k'-m\omega^2) - 2k'^2] = 0$$

したがふる  $\omega$  の対応条件は

$$\left\{ \begin{array}{l} m\omega^2 = k + k' \\ \text{or} \end{array} \right. \quad (2.39)$$

$$(k + k' - m\omega^2)(2k - m\omega^2) = 2k^2 \quad (2.40)$$

で、3つの基準振動数  $\omega$  が得られる。

$$\omega = \sqrt{\frac{k+k'}{m}} \quad (2.41)$$

$$\omega = \sqrt{\frac{k+3k \pm \sqrt{k^2 - 2kk' + 9k'^2}}{2m}} \quad (2.42)$$

これを3つを小さいから  $\omega_1, \omega_2, \omega_3$  とする。今度はそれらの  $\omega$  の比を求める。簡単のため  $k = k'$  とし、 $\omega$  を式(2.36)に代入すると(2)の関係式が得られる。

$$(i) \omega_1 = \sqrt{\frac{2-\sqrt{2}}{m}}k \implies \sqrt{2}c_1 = c_2 = \sqrt{2}c_3 \text{ より 基準振動は}$$

$$(x_1, x_2, x_3) = \left(\frac{1}{2}, \frac{\sqrt{2}}{2}, \frac{1}{2}\right) A_1 \cos(\omega_1 t + \alpha_1) \quad (2.46)$$

$$(ii) \omega_2 = \sqrt{\frac{2k}{m}} \implies c_1 = -c_3, c_2 = 0 \text{ より 基準振動は}$$

$$(x_1, x_2, x_3) = \left(\frac{1}{\sqrt{2}}, 0, -\frac{1}{\sqrt{2}}\right) A_2 \cos(\omega_2 t + \alpha_2) \quad (2.47)$$

$$(iii) \omega_3 = \sqrt{\frac{2+\sqrt{2}}{m}}k \implies \sqrt{2}c_1 = -c_2 = \sqrt{2}c_3 \text{ より 基準振動は。}$$

$$(x_1, x_2, x_3) = \left(\frac{1}{2}, -\frac{\sqrt{2}}{2}, \frac{1}{2}\right) A_3 \cos(\omega_3 t + \alpha_3) \quad (2.48)$$

右辺に現れた定ベクトルは各基準振動数 (= 固有値) に対する 固有ベクトル であり。  
これら

$$\Psi_1 = \left(\frac{1}{2}, \frac{\sqrt{2}}{2}, \frac{1}{2}\right) \quad (2.49)$$

$$\Psi_2 = \left(\frac{1}{\sqrt{2}}, 0, -\frac{1}{\sqrt{2}}\right) \quad (2.50)$$

$$\Psi_3 = \left(\frac{1}{2}, -\frac{\sqrt{2}}{2}, \frac{1}{2}\right) \quad (2.51)$$

と表す。

P13 サリに2質点系のように基準座標  $Q_i(t) = A_i \cos(\omega_i t + \alpha_i)$  ( $i=1,2,3$ ) を導入する。一般解は基準振動の重ね合わせで表せよう。

$$(x_1, x_2, x_3) = \sum_{i=1}^3 Q_i(t) \psi_i \quad (2.52)$$

と書ける。固有ベクトル表記にしないなら

$$\begin{cases} x_1(t) = \frac{1}{2} Q_1(t) + \frac{1}{\sqrt{2}} Q_2(t) + \frac{1}{2} Q_3(t) \\ x_2(t) = \frac{1}{\sqrt{2}} Q_1(t) & - \frac{1}{\sqrt{2}} Q_3(t) \\ x_3(t) = \frac{1}{2} Q_1(t) - \frac{1}{\sqrt{2}} Q_2(t) + \frac{1}{2} Q_3(t) \end{cases}$$

となる。 $(A_1, \alpha_i)$  ( $i=1,2,3$ ) は  $x_i$  の初期条件を定める

ここまで解法を整理すると、3質点系では、

- ① 運動方程式の記述
- ②  $x_i = C_i e^{i\omega t}$  と仮定し代入  $\leftarrow$  基準振動と想定
- ③  $C_i \neq 0$  の条件式から  $\omega$  を求めよ。  $\leftarrow$  固有値の確定
- ④  $\omega$  を求めたら  $C_i$  を求めよ。  $\leftarrow$  固有ベクトルの確定
- ⑤ 足し合せよ  $\rightarrow$  「固有ベクトルと基準座標の積」の和が得られる。

となる。



ところで、固有ベクトルとなせる上記の数値は設定したのか？（固有ベクトルは無数にある）

$$\psi_1 = \left( \frac{1}{2}, \frac{1}{\sqrt{2}}, \frac{1}{2} \right), \quad \psi_2 = \left( \frac{1}{\sqrt{2}}, 0, -\frac{1}{\sqrt{2}} \right), \quad \psi_3 = \left( \frac{1}{2}, -\frac{1}{\sqrt{2}}, \frac{1}{2} \right)$$

となる

$$\psi_1 \cdot \psi_1 = \psi_2 \cdot \psi_2 = \psi_3 \cdot \psi_3 = 1 \Rightarrow \text{規格化}$$

$$\psi_1 \cdot \psi_2 = \psi_2 \cdot \psi_3 = \psi_3 \cdot \psi_1 = 0 \Rightarrow \text{直交性}.$$

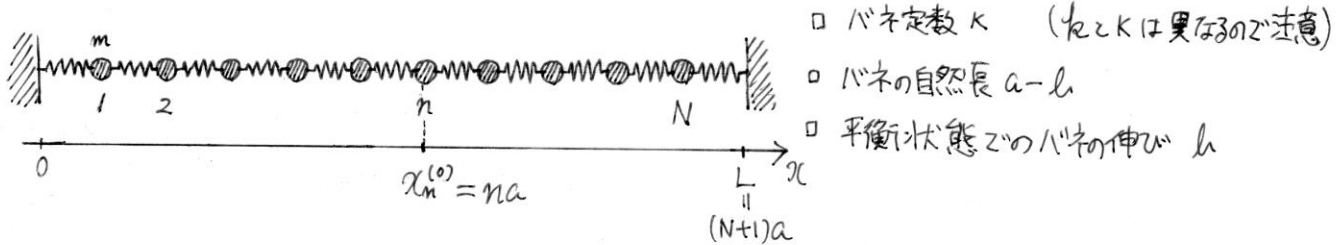
つまり 固有ベクトルに規格直交性（直交性は元々あるので 規格化を加えた）をもたらすのだ。

固有ベクトルの規格直交性により 基準座標は次のように表せる。

$$\tilde{Q}_i(t) = \underbrace{(x_1, x_2, x_3)}_{\sim} \cdot \psi_i \quad (2.58)$$

# 第3章 弦の振動

## 3.1 N個の質点の連成振動



上図のような系を考える。縦波と横波が生じ得るかまず縦波を考える。

縦波が生じているときの各質点のx座標の時間変化は、

$$x_n(t) = \underbrace{x_n^{(0)}}_{\text{静止時の位置}} + \xi_n(t) = na + \xi_n(t) \quad (3.1)$$

となる。最終目標は一般解  $x_n(t)$ 、つまり  $\xi_n(t)$  を求めることである。

→ 前章と同じように N次元ベクトルを用いて

$$(\xi_1(t), \xi_2(t), \dots, \xi_N(t)) = \sum_{j=1}^N \Phi_j Q_j(t) \quad (3.2)$$

$$Q_j(t) = A_j \cos(\omega_j t + \alpha_j) \quad (3.3)$$

の形に求めることを目指す。



前章を参考にすると、式(3.2)の形を求めるには、

- (1) 運動方程式を導出して、
- (2) 基準振動数  $\omega_j$  を求め、
- (3) 各基準振動数に対する固有ベクトル  $\Phi_j$  を求めを行なう。

それでは一般解を求めてみよう。

### (1) 運動方程式

□  $n$ 番目の質点の速度と加速度 :  $\dot{x}_n(t) = \xi_n(t)$ ,  $\ddot{x}_n(t) = \ddot{\xi}_n(t)$

□  $n$ 番目の左側のバネの弾性力  $F_{n,n-1}$  :

$$x_n(t) - x_{n-1}(t) = na + \xi_n - (n-1)a - \xi_{n-1} = a + \xi_n - \xi_{n-1} \quad (3.4)$$

$$\therefore F_{n,n-1} = -k[a + \xi_n - \xi_{n-1} - (a - b)] = -k(\xi_n - \xi_{n-1} + b) \quad (3.5)$$

□  $n$ 番目の質点の右側のバネの弾性力  $F_{n+1,n}$  :

$$F_{n+1,n} = +k(\xi_{n+1} - \xi_n + b) \quad (3.6)$$

→ 以上より求めた運動方程式は.

$$m \ddot{\xi}_n = F_{n,n-1} + F_{n+1,n} = k(\xi_{n+1} - 2\xi_n + \xi_{n-1}) \quad (3.7)$$

( $n=1$  及び  $n=N$  は異なる)

\* ここで先ほど後回しにして横波について考察してみる。

このとき変位の方向を  $y$  方向とする。

$n$ 番目の質点の左側のバネによる  $y$  方向の力は.

$$F_{n,n-1} = T \sin \theta = T \cdot \frac{\xi_{n-1} - \xi_n}{\sqrt{a^2 + (\xi_n - \xi_{n-1})^2}} \approx \frac{T}{a} (\xi_{n-1} - \xi_n) \quad (|\xi_n - \xi_{n-1}| \ll a \text{ ならば } T \approx kb)$$

このとき、バネの長さも  $\sqrt{a^2 + (\xi_n - \xi_{n-1})^2} \approx a$  となるので  $T \approx kb$ 。

右側のバネによる力も同様の計算をしてあたって、運動方程式を立てると次のようになる。

$$m \ddot{\xi}_n = \frac{T}{a} (\xi_{n-1} - 2\xi_n + \xi_{n+1}) = k \cdot \frac{b}{a} \cdot (\xi_{n+1} - 2\xi_n + \xi_{n-1}) \quad (3.8)$$

これは  $K' = k \cdot \frac{b}{a}$  とすると 縦波の運動方程式と同型である。

→ 横波の変位は、縦波の変位の式に含まれる  $K$  を  $k \cdot \frac{b}{a}$  に置換するところ得る。

さて、もう一度総波の議論に戻る。

(2) 基準振動数  $\omega_0$  を求めよ。

→ こ、その前に....。さきの式(3.7)は  $n=1, N$  では少し異なる。

→ そこで  $n=1, 2, \dots, N-1$  (3.7) が成立立つように、「0番目」と「N+1番目」の質点を導入する。ただし、このとき  $x_0(t)=0, \xi_0(t)=0, x_{N+1}(t)=(N+1)a, \xi_{N+1}(t)=0$  である。(重ねかべ)

→ こうして  $N$  個の微分方程式(3.7)と 2個の条件式  $\xi_0 = \xi_{N+1} = 0$  が得られる。  
これを用いて  $\omega_0$  等を求めていく。このとき  $\xi_0 = \xi_{N+1} = 0$  を 「境界条件」 という。



3質点系のときと同様に、「式を複素数まで拡張」し、「基準振動が現れる」と想定。  
して、 $\xi_n(t) = \eta_n e^{i\omega t}$  とおく。

□ 境界条件 :  $\xi_0 = \xi_{N+1} = 0$  より  $\eta_0 = \eta_{N+1} = 0$  (3.12)

□ (連立) 微分方程式 :  $-k\eta_{n-1} + 2k\eta_n - k\eta_{n+1} = m\omega^2\eta_n$  (3.13)

→ この置換で連立代数方程式になる。

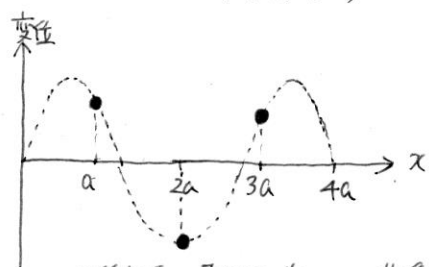
→ 3質点系はここが「 $\eta_n (n=1, 2, 3) \neq 0$  となる条件」として係数行列の行列式を用ひたが、今回は困難。

教科書 P50～P52 「2.3.6 固有ベクトル再考」にもあるように、基準振動の  
様子は座標方向で正弦波のようである。

$\eta_n$  は 3質点系での  $c_n$  と同様、固有ベクトルに相当する  
から、ここで  $\eta_n$  は波のようにみなすと想定して。

$$\eta_n = C e^{ikna} \quad (3.14)$$

とおく。(  $k \neq k_0$  に注意)



3質点系。角振動数  $\omega_3$  の基準振動の固有ベクトルは  
 $\psi_3 = (\frac{1}{2}, -\frac{1}{\sqrt{2}}, \frac{1}{2})$   
 $= (\frac{1}{\sqrt{2}} \sin \frac{3}{4}\pi, \frac{1}{\sqrt{2}} \sin \frac{6}{4}\pi, \frac{1}{\sqrt{2}} \sin \frac{9}{4}\pi)$   
 となる。

$$\eta_{n\pm} = C e^{ik(n\pm 1)a} \quad (3.15)$$

に注意すると、 $n$ 番目の方程式は

$$-k e^{ik(n-1)a} + (2k - mw^2) e^{ikna} - k e^{ik(n+1)a} = 0 \quad (3.16)$$

$$\therefore 2k - mw^2 - 2k \cos ka = 0 \quad (3.17)$$

が得られる。これにより基準振動数は  $k$  を用いて

$$mw^2 = 2k(1 - \cos ka) = 4k \left(\sin \frac{ka}{2}\right)^2 \quad (3.18)$$

$$\therefore \omega = 2\sqrt{\frac{k}{m}} \left|\sin \frac{ka}{2}\right| \quad (3.19)$$

→ こうして  $\omega$  (いわゆる固有値) が得られたわけだが、...

→  $k$  が与えないと  $\omega$  も  $\eta$  も定まらないのである。

↓  
3質点系にはなかつて  $k$  という概念を、 $N$  質点系では  
「境界条件」をもつてやく。

→ 境界条件  $\eta_0 = \eta_{N+1} = 0$  より  $\eta_0 = C e^{i\omega 0} = C = 0 \therefore C = 0$   
となる。これはつまり解となることは。

→ そこで式(3.13)の線形性をもつ、「 $k, -k$  の解の和」または「解に加え」と  
利用し、 $\eta_n = C_+ e^{ikna} + C_- e^{-ikna}$  とおこう。

→  $\eta_0 = 0 \therefore C_+ + C_- = 0 \therefore C_- = -C_+$  を得る。

$n$  番目の変位は

$$\eta_n = C_+ e^{ikna} - C_+ e^{-ikna} = 2i C_+ \sin(ka) \quad (3.20)$$

ここで  $\eta_{N+1} = 0$  を代入する。

$$2i C_+ \sin[k(N+1)a] = 0$$

$$\therefore ka(N+1) = j\pi \quad (j \text{ は任意の整数})$$

以上をまとめると、 $N$  質点系では、

(1)  $\ell$  番目の基準振動 ( $n$  番目の質点の振動ではない) は 実数  $k = k_{\ell}$  を用いて表され、

その  $k_{\ell}$  の値は

$$k_{\ell} = \frac{\ell \pi}{a(N+1)} \quad (\ell \in \mathbb{Z}) \quad (3.22)$$

(2) そのときの基準振動数は

$$\omega_{\ell} = 2\sqrt{\frac{k}{m}} \sin \left| \frac{\ell \pi}{2(N+1)} \right| \quad (3.23)$$

(3) 各質点の振幅  $\eta_n^{(\ell)}$  は、

$$\eta_n^{(\ell)} = 2\lambda C_+ \sin(k_{\ell} n a) \quad (3.24)$$

したがって各質点の運動は、

$$\xi_n^{(\ell)}(t) = 2\lambda C_+ \sin(k_{\ell} n a) e^{i\omega_{\ell} t} \quad (3.25)$$

最終的に、実数に戻すと、「 $\ell$  番目の基準振動での  $n$  番目の質点の変位」は、

$$\xi_n^{(\ell)}(t) = A_{\ell}' \sin(k_{\ell} n a) \cos(\omega_{\ell} t + \alpha_{\ell}) \quad (3.26)$$

$$(2\lambda C_+ \equiv A_{\ell}' e^{i\alpha_{\ell}} \text{ といふ実数に戻す。})$$

を得る。(ただし一般解ではない。あくまで基準振動解。)



ここで基準振動の総数について考えてみる。

$$\ell=0 \Rightarrow \xi_n^{(0)}=0 \rightarrow \ell=0 \text{ ない解}$$

$\ell=1 \sim \ell=N \rightarrow$  基準振動得る。

$\ell=N+1 \rightarrow$  つまらない解。

$\ell > N+1, \ell < 0 \rightarrow \ell=1 \sim \ell=N$  と全く同じ式が得られる。1カント。

→ 基準振動は  $N$  個 (全く異なっている。)

p19.

一般解は基準振動解の線形結合で表せるが、

$$\left\{ \begin{array}{l} \xi_n(t) = \sum_{j=1}^N A_j' \sin(k_j n a) \cos(\omega_j t + \alpha_j) \\ k_j = \frac{j\pi}{a(N+1)} \\ \omega_j = 2\sqrt{\frac{k}{m}} \sin\left(\frac{k_j a}{2}\right) \end{array} \right. \quad (3.28)$$

となる。(目標達成!!!) (+33n初期条件で  $A_j'$  と  $\alpha_j$  は定められる)

### 3.2 固有ベクトルと基準座標

さてさて、一般解が得られたので、今度はそれを「固有ベクトルと基準座標の積」の形にします。例によると  $N$  次元ベクトルにします。

$$\xi \equiv (\xi_1, \xi_2, \dots, \xi_N)$$

$$= \sum_{j=1}^N A_j' \cos(\omega_j t + \alpha_j) (\sin(k_j a), \sin(2k_j a), \dots, \sin(Nk_j a)) \quad (3.30)$$

→ この  $\xi$  を  $\xi(t) = \sum_{j=1}^N Q_j(t) \varphi_j$  にします。  $N$  次元固有ベクトル  $\varphi_j$  は規格化についてあります。

→ これを  $\varphi_j = C_j (\sin(k_j a), \sin(2k_j a), \dots, \sin(Nk_j a))$  とします。

規格化定数  $C_j$  を調節して  $|\varphi_j| = 1$  にします。

$$\begin{aligned} \varphi_j \cdot \varphi_j &= C_j^2 \sum_{n=1}^N \sin^2(nk_j a) = C_j^2 \sum_{n=1}^N \frac{1}{2} [1 - \cos(2nk_j a)] \\ &= C_j^2 \left[ \frac{N}{2} - \frac{1}{4} \sum_{n=1}^N (e^{2nk_j a} - e^{-2nk_j a}) \right] \quad \text{等比級数} \\ &= C_j^2 \left( \frac{N}{2} - \frac{1}{4} \cdot \frac{e^{2Nk_j a} - e^{2(N+1)k_j a}}{1 - e^{2k_j a}} - \frac{1}{4} \cdot \frac{e^{-2Nk_j a} - e^{-2(N+1)k_j a}}{1 - e^{-2k_j a}} \right) \\ &= \frac{N+1}{2} C_j^2 \end{aligned} \quad (3.32)$$

よし 規格化定数は  $\rho_j \cdot \rho_j = 1$  より

$$\rho_j = \sqrt{\frac{2}{N+1}}$$

とする(?)といふ。



$$\text{このとき}, \quad \sqrt{\frac{N+1}{2}} A_j \cos(\omega_j t + \alpha_j) \equiv A_j \cos(\omega_j t + \alpha_j) = Q_j(t)$$

となる。一般解は 固有ベクトルと 基準座標を用ひる。

(3.33)

$$\xi(t) = \sum_{j=1}^N Q_j(t) \rho_j \quad (3.34)$$

となる。



例によると 固有ベクトルの直交性を確認可。

と言ひていいところだが、割愛。大して計算ではないので(時間とスペースと)

教科書P64, 65 を参照してもよい。結果を述べると、固有ベクトルの直交性は保証されていく。

$$\rho_j \cdot \rho_l = \delta_{j,l} \quad (3.47)$$

表せる。 $\delta_{j,l}$  は「クロネッカーデルタ」といふ。 $j=l$  のとき  $\delta_{j,l}=1$ ,

非  $j=l$  のとき  $\delta_{j,l}=0$  となる大変便利な関数である。

→ 直交性を用ひると 基準座標には もともとの座標系で表せる。

$$Q_j(t) = \xi(t) \cdot \rho_j \quad (3.49)$$

→ (3.34)=(3.49) を代入してみると。(  $(\rho_j)_n$  は  $\rho_j$  の第  $n$  成分)

$$\begin{aligned} \xi_n(t) &= \sum_{j=1}^N (\xi(t) \cdot \rho_j) (\rho_j)_n = \sum_{j=1}^N \sum_{m=1}^N \xi_m(t) (\rho_j)_m (\rho_j)_n \\ &= \sum_{m=1}^N \xi_m(t) \sum_{j=1}^N (\rho_j)_m (\rho_j)_n \end{aligned} \quad (3.50)$$

$$\therefore \sum_{j=1}^N (\rho_j)_m (\rho_j)_n = \delta_{m,n} \quad (3.51)$$

である以上、これを「完全性」といふ。  $N$  個の質点のどのような運動も 基準運動の和で 完全に記述できることを保証するものだ。

3.5 弦

(教科書3.3「ピアノの弦の運動」～3.4「弦の強制振動」)  
は割愛したが、読んでおくことを強く勧める。

まずある程度  $N$  の大きな「鎖」のゆくりした振動を考える。

$\omega_0 \propto \sqrt{N}$  ので  $N$  に比べて  $\omega_0$  が十分に小さいときの基準振動のみの重ね合わせでできる振動である。

→ この場合、隣り合った質点の変位はほとんど等しいので  $\xi_{n+1}(t)$  を  $\xi(x, t)$  と書い、平衡位置  $x = na$  の連続関数とみなしてよい。

この  $\xi(x, t)$  に関する運動方程式を求める。継波の場合の運動方程式(3.7)

$$m \ddot{\xi}_n = k (\xi_{n-1} - 2\xi_n + \xi_{n+1})$$

で左辺の2階時間微分は、

$$\ddot{\xi}_n(t) = \frac{d^2}{dt^2} \xi_n(t) \rightarrow \frac{\partial^2}{\partial t^2} \xi(x, t) \quad (3.95)$$

一方、右辺の  $\xi_{n\pm 1}(t)$  は、

$$\xi_{n\pm 1} \rightarrow \xi(a(n\pm 1), t) = \xi(x \pm a, t)$$

$$\approx \xi(x, t) \pm a \frac{\partial \xi(x, t)}{\partial x} + \frac{a^2}{2} \frac{\partial^2 \xi(x, t)}{\partial x^2} \pm \frac{a^3}{6} \frac{\partial^3 \xi(x, t)}{\partial x^3} + \dots$$

このテイラー展開の  $a^4$  以上の項を無視すると、

$$\xi_{n-1} - 2\xi_n + \xi_{n+1} \approx a^2 \frac{\partial^2 \xi(x, t)}{\partial x^2} \quad (3.97)$$

となり運動方程式は、

$$m \frac{\partial^2}{\partial t^2} \xi(x, t) = k a^2 \frac{\partial^2}{\partial x^2} \xi(x, t) \quad (3.98)$$

弦を伝める波の速度  $v$  を用いて  $\frac{ka^2}{m} = v^2$  と書けば、

$$\frac{\partial^2}{\partial t^2} \xi(x, t) = v^2 \frac{\partial^2}{\partial x^2} \xi(x, t) \quad (3.99)$$

を得る。これを(1次元の)波動方程式といふ。

$N' \ll N$  といふ基準振動の和を  $N'$  までに制限して鎖の解

$$\xi(x, t) = \sum_{j=1}^{N'} A_j' \sin(k_j x) \cos(\omega_j t + \alpha_j) \quad (3.100)$$

はこの波動方程式の解の1つである。

P22. 全長  $L$  を一定にしたまま、 $N \rightarrow \infty$ 、 $a = \frac{L}{N+1} \rightarrow 0$  (質点数を増やし、間隔を縮める) とする。また、線密度  $\rho$  は一定値  $\frac{m}{a}$  に保つ。

この  $N \rightarrow \infty$ 、 $a \rightarrow 0$  の極限では、(3.96) のテイラー展開での近似は正当化される。 $N \rightarrow \infty$  と  $N' \rightarrow \infty$  とでさうか。波動方程式の解は、

$$\left\{ \begin{array}{l} \xi(x, t) = \sum_{j=1}^{\infty} A'_j \sin(k_j x) \cos(\omega_j t + \alpha_j) \\ k_j = \frac{\pi}{L} j \end{array} \right. \quad (3.103)$$

$$w_j = v k_j \quad (3.104)$$

$$(3.105)$$

である。これは、波動方程式に境界条件  $\xi(0, t) = \xi(L, t) = 0$  を付けてときの一般解である。

鎖の質点数を無限大にすると弦となる。

ここで鎖の各点の変位を表す  $N$  次元ベクトル  $\xi(t)$  は 弦の変位を表す  $x$  に沿った関数  $\xi(x, t)$  となる。

さらに、鎖の連成振動の  $n$  番目の固有ベクトル  $e_j$  は  $x$  の関数  $e_j(x)$  になり、固有関数 とよばねようになる。

→ 規格直文化した固有関数系をつくり、弦の変位  $\xi(x, t)$  を固有関数と基準座標を用いて表していく。

・ 固有ベクトルの規格直交性を表す式

$$e_j \cdot e_l = \frac{2}{N+1} \sum_{n=1}^N \sin(k_j n a) \sin(k_l n a) = \delta_{j,l}$$

は、 $N \rightarrow \infty$ 、 $a \rightarrow 0$  の極限で区間  $0 \leq x \leq L$  における積分で表せる。

微小区間  $dx$  中に含まれる  $n$  の数は  $\frac{dx}{a}$  個だから、

$$\begin{aligned} e_j \cdot e_l &= \frac{2}{N+1} \int_0^L \frac{dx}{a} \sin(k_j x) \sin(k_l x) \\ &= \frac{2}{L} \int_0^L \sin(k_j x) \sin(k_l x) dx \\ &= \delta_{j,l} \end{aligned} \quad (3.107)$$

したがって  $\ell$  番目の固有関数として

$$e_\ell(x) \equiv \sqrt{\frac{2}{L}} \sin(k_\ell x) \quad (3.108)$$

を定義すると  $e_\ell(x)$  と  $e_\ell(x)$  は次の規格直交性を満たす。

$$\int_0^L e_\ell(x) e_\ell(x) dx = \delta_{\ell,\ell}. \quad (3.109)$$

→これを用いよと……。

$$\xi(x,t) = \sum_{j=1}^{\infty} e_j(x) Q_j(t) \quad (3.110)$$

$$Q_j(t) = A_j \cos(\omega_j t + \alpha_j) \quad (3.111)$$

となる。また、逆に弦の変位を与えたとき、基準座標  $Q_j(t)$  を求める式は、

$$Q_j(t) = \int_0^L \xi(x,t) e_j(x) dx \quad (3.112)$$

である。

### 3.4 波動方程式の解法

前述の波動方程式の解は境界条件を付けていたが、ここでは、  
境界条件を付けていない場合の波動方程式の解法を学んでいく。

$$\frac{\partial^2}{\partial t^2} \xi(x,t) - V^2 \frac{\partial^2}{\partial x^2} \xi(x,t) = 0 \quad (3.99)$$

#### (1) 因数分解法

(3.99)を次のように“因数分解”する。

$$\left( \frac{\partial}{\partial t} \pm V \frac{\partial}{\partial x} \right) \left( \frac{\partial}{\partial t} \mp V \frac{\partial}{\partial x} \right) \xi(x,t) = 0 \quad (\text{複号同順}) \quad (3.113)$$

この結果、 $\xi(x,t)$ が波動方程式を満たすには、

$$\left( \frac{\partial}{\partial t} + V \frac{\partial}{\partial x} \right) \xi(x,t) = 0 \quad (3.114)$$

$$\text{または } \left( \frac{\partial}{\partial t} - V \frac{\partial}{\partial x} \right) \xi(x,t) = 0 \quad (3.115)$$

となる。この1階の偏微分方程式はすぐに解ける。

式(3.114)の場合には

$$\xi(x,t) = f(x-vt) \quad (3.116)$$

式(3.115)の場合には

$$\xi(x,t) = g(x+vt) \quad (3.117)$$

（注）ここで  $f$  と  $g$  は微分可能な任意の関数である。この2つの解の和、

$$\xi(x,t) = f(x-vt) + g(x+vt) \quad (3.118)$$

もやはり波動方程式の一般解である。

→  $f(x-vt)$  は右向きの進行波解,  $g(x+vt)$  は左向きの進行波解である。

→ この因数分解法はタランペールの解法ともいふ。

## (2) 变数分離法。

波動方程式の解が变数  $x$  と  $t$ 、それとの関数の積で  $\xi(x,t) = X(x)T(t)$  と書けると仮定する。波動方程式に代入すると

$$X(x) \frac{d^2}{dt^2} T(t) = v^2 T(t) \frac{d^2}{dx^2} X(x) \quad (3.119)$$

$$\therefore \frac{1}{T(t)} \frac{d^2}{dt^2} T(t) = \frac{v^2}{X(x)} \frac{d^2}{dx^2} X(x) \quad (3.120)$$

→ 各辺がその他の变数に依存しない。そこで2つ两边が等しい。

したがって两边はある一定値となる。これを  $-v^2 k^2$  とすると

$$\begin{cases} \ddot{T}(t) = -v^2 k^2 T(t) \\ \ddot{X}(x) = -k^2 X(x) \end{cases} \quad (3.121)$$

$$\begin{cases} \ddot{T}(t) = -v^2 k^2 T(t) \\ \ddot{X}(x) = -k^2 X(x) \end{cases} \quad (3.122)$$

→ 单振動型ゆえ、解は  $T(t) \propto e^{\pm i k v t}$ ,  $X(x) \propto e^{\pm i k x}$  である。よし

$$\begin{aligned} \xi(x,t) &= \sum_k (A_k e^{ik(x-vt)} + A_k^* e^{-ik(x-vt)} \\ &\quad + B_k e^{ik(x+vt)} + B_k^* e^{-ik(x+vt)}) \\ &= 2 \sum_k \left\{ |A_k| \cos [k(x-vt) + \alpha_k] + |B_k| \cos [k(x+vt) + \beta_k] \right\} \end{aligned} \quad (3.123)$$

以上の式変形は、 $X, T$ の種通りが実関数にまとめられ組み合せられる。

この解を因数分解法での進行波解と比較すると

$$f(x) = \sum_k |A_k| \cos(kx + \alpha_k) \quad (3.124)$$

$$g(x) = \sum_k |B_k| \cos(kx + \beta_k) \quad (3.125)$$

でこれは解は一致する。

→ 任意の微分可能な関数  $f$  や  $g$  はさまで 波数  $k$  の三角関数の和で表せる。

### 3.5 波の透過と反射

進行波の透過や反射について学ぶ。端が固定された弦を考え前に、より一般的な状況として、2つの弦が  $x=0$  でつながれていて、 $x < 0$  での波の速さが  $v_1$ 、 $x > 0$  での速さが  $v_2$  の場合を考える。(固定端は一方の速さを 0 にすればよい)

波動方程式は

$$\left\{ \begin{array}{l} \frac{\partial^2 \xi}{\partial x^2} = v_1^2 \frac{\partial^2 \xi}{\partial t^2} \quad (x < 0) \\ \frac{\partial^2 \xi}{\partial x^2} = v_2^2 \frac{\partial^2 \xi}{\partial t^2} \quad (x > 0) \end{array} \right. \quad (3.126)$$

$$\left\{ \begin{array}{l} \frac{\partial^2 \xi}{\partial x^2} = v_1^2 \frac{\partial^2 \xi}{\partial t^2} \quad (x < 0) \\ \frac{\partial^2 \xi}{\partial x^2} = v_2^2 \frac{\partial^2 \xi}{\partial t^2} \quad (x > 0) \end{array} \right. \quad (3.127)$$

今左側が  $\xi(x, t) = f_1(x - v_1 t)$  (3.128)

という波が入射していく場合を考える。



この波が  $x=0$  に到達すると、 $x > 0$  を進む 透過波

$$f_2(x - v_2 t) \quad (3.129)$$

と、入射方向に戻る 反射波

$$g_1(x + v_1 t) \quad (3.130)$$

ができる。これらの大きさは、 $x=0$  の境界条件で決まる。



境界条件は、 $x=0$ で (i) 強がつながること、(ii) 左右の張力が等しいことである。これを式で表す。

$x < 0$ では 2つの波  $f_1$  と  $g_1$  が共存し、 $x > 0$ では 1つの波  $f_2$  しかないが、条件(i)と(ii)を表す式はこれら。 $(x=0)$ を代入すれば(3.131)

$$f_1(-v_1 t) + g_1(v_1 t) = f_2(-v_2 t) \quad (3.131)$$

$$f'_1(-v_1 t) + g'_1(v_1 t) = f'_2(-v_2 t) \leftarrow \begin{array}{l} x=0 \text{ 附近} \\ (\text{勾配}) \end{array} \quad (3.132)$$

となる。 $(3.132)$ は (i) が  $x=0$  の勾配が連続であるということが得られる。



式(3.132)を時間で積分すると

$$-\frac{1}{v_1} f_1(-v_1 t) + \frac{1}{v_1} g_1(v_1 t) = -\frac{1}{v_2} f_2(-v_2 t) + C \quad (3.133)$$

入射波がないときは、全ての波がないから  $C=0$ 。

→ 式(3.131)と(3.133)を用いると、透過波と反射波は、入射波と用ひる

$$\left\{ \begin{array}{l} \text{反射波: } g_1(v_1 t) = \frac{v_2 - v_1}{v_1 + v_2} f_1(-v_1 t) \\ \text{透過波: } f_2(-v_2 t) = \frac{2v_2}{v_1 + v_2} f_1(-v_1 t) \end{array} \right. \quad (3.134)$$

となる。

→ 光のように屈折率を  $n \equiv \frac{v_1}{v_2}$  と定義すると

$$\left\{ \begin{array}{l} \text{反射波: } g_1(x) = \frac{1-n}{1+n} f_1(-x) \\ \text{透過波: } f_2(x) = \frac{2}{1+n} f_1(nx) \end{array} \right. \quad (3.136)$$

となる。



この境界での接続の極限として、固定端と自由端がある。

(1) 固定端 :  $x > 0$  上は質量無限大の弦があり、動かないこすれぬよい。

$$v_2 \propto \frac{1}{\sqrt{\rho}} \rightarrow 0 \text{ となり屈折率 } n \rightarrow \infty \text{ となる。} \rightarrow$$

$$\text{反射波 } g_1(x) = -f_1(-x) \quad (\text{透過波 } f_2(x) = 0) \quad (3.138)$$

→ 高校で学習した「上下の反転」

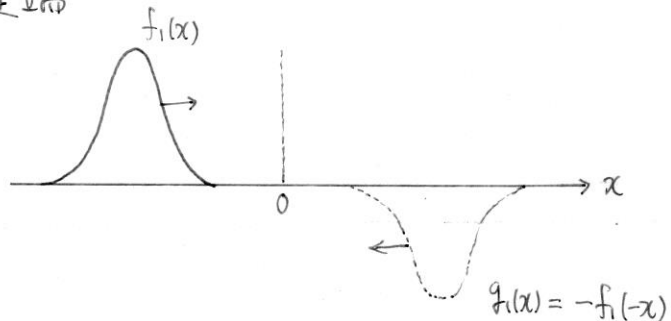
(2) 自由端 :  $x > 0$  の弦の線密度を 0 にすればよい。(とは言いつつ困難。気柱など)

$$n = 0 \text{ とする} \rightarrow$$

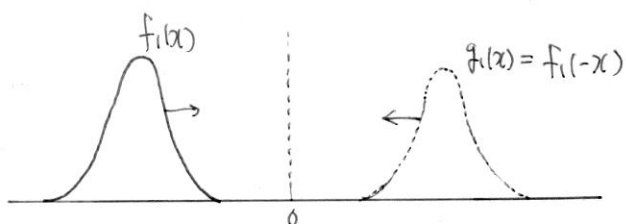
$$\text{反射波 } g_1(x) = f_1(-x), \quad (\text{透過波 } f_2(x) = 2f_1(0)) \quad (3.139)$$

\* 教科書 P91~P92 の「3.7.2 両端が固定された弦」についても 読んでおくことを勧める。

(1) 固定端



(2) 自由端



## 第4章 フーリエ級数・フーリエ積分

ふう...。やっとここまできましたね。今までの章での考察から、基準振動は三角関数で表され、基準振動の重ね合わせでどんな弦の状態でも表せることが分かったと思いまます。つまり、任意の連続関数は三角関数で表せる。これは、数学では「フーリエ級数の定理」といわれています。この章では、このフーリエ級数と、関数の変域を無限大にしたときのフーリエ積分について触れてきます。フーリエ積分は、第6章の回折を理解するのに役立ちます。（急いでます間にあたり疲れが見えてる。）

### 4.1 フーリエ級数

$x=0$  および  $x=L$  まで張られた弦の振動は次のようになることを前章で示した。

$$\xi(x,t) = \sum_{j=1}^{\infty} A_j \sin(k_j x) \cos(\omega_j t + \alpha_j), \quad k_j = \frac{n}{L}$$

特に  $t=0$  のときは、 $\xi(x,0) = \sum_{j=1}^{\infty} (A_j \cos \alpha_j) \sin(k_j x)$

である。境界条件  $\xi(0,0) = \xi(L,0) = 0$  を満たせば、任意の初期条件を設定することができます。  
→ 任意の連続関数が  $\sin(k_j x)$  の和で表せる。

#### 定理

$-l \leq x \leq l$  の範囲で定義された有界な関数  $f(x)$  があり、極値をとるのは有限個であれば、

$$f(x) = \frac{A_0}{2} + \sum_{n=1}^{\infty} \left[ A_n \cos\left(\frac{n\pi}{l}x\right) + B_n \sin\left(\frac{n\pi}{l}x\right) \right] \quad (4.4)$$

と表せる。これを フーリエ級数といつ。

※ 関数は不連続な点がある区分的に連続なものでもよい。不連続な点では、右端は平均値になる。

※ 関数に課せられた条件は ディリクレ条件といつ。

ある関数の有限区間が無限個の三角関数の和で表せる。

フーリエ級数は一種の無限次元での座標変換である。  
N質点系の変位をベクトルで表してみる。

$$\xi(t) = \xi_1(t) \vec{e}_1 + \xi_2(t) \vec{e}_2 + \dots + \xi_N(t) \vec{e}_N = \sum_{j=1}^N Q_j(t) e_j \quad (4.8)$$

つまり  $\vec{e}_n = (0, \dots, 0, \underset{(n\text{番目})}{1}, 0, \dots, 0)$  を  $e_n = \sqrt{\frac{2}{N+1}} \left[ \sin\left(\frac{n\pi}{N+1}\right), \sin\left(\frac{2n\pi}{N+1}\right), \dots, \sin\left(\frac{Nn\pi}{N+1}\right) \right]$

Nと変換している。N→∞とすると、鎖→弦、N次元変位ベクトル→無限次元変位ベクトル

つまり  $\xi(t) \rightarrow \xi(x, t)$ 。ここでこの無限次元ベクトル  $\xi(x, t)$  を弦の固有ベクトルで展開したもののがフーリエ級数である。

以下では、関数  $f(x)$  を無限次元ベクトルとみなすとき、 $\hat{f}$  と表記。



フーリエ級数のとき、固有ベクトルを  $e_i$  すなはち固有関数は次の  $e_i(x)$  となる。

$$\begin{aligned} e_0(x) &= \frac{1}{\sqrt{2l}} \\ e_1(x) &= \frac{1}{\sqrt{l}} \cos\left(\frac{\pi}{l}x\right) & e_2(x) &= \frac{1}{\sqrt{l}} \sin\left(\frac{\pi}{l}x\right) \\ &\vdots & &\vdots \\ e_{2m}(x) &= \frac{1}{\sqrt{l}} \cos\left(\frac{m\pi}{l}x\right) & e_{2n}(x) &= \frac{1}{\sqrt{l}} \sin\left(\frac{n\pi}{l}x\right) \\ &\vdots & &\vdots \end{aligned} \quad (4.15)$$

これを好んで内積を次のように定義すると、これらの固有関数は規格直交性を満たす。

$$e_i \cdot e_j \equiv \int_{-l}^l e_i^*(x) e_j(x) dx = \delta_{i,j} \quad (4.16)$$

( $e_i^*(x)$  は  $e_i(x)$  の複素共役)

□ 前述した通り、ベクトル  $\hat{f}$  が規格直交化された固有ベクトル  $e_i$  に沿って

$$\hat{f} = \sum_{i=1}^{\infty} c_i e_i$$

と表される。この 展開係数  $c_i$  は

$$c_i = e_i \cdot \hat{f}$$

と表せば。

全く同様にして、固有関数を用いて表した Fourier 級数の展開係数も、  
固有関数の規格直交性を用いて表せる。

$$\left. \begin{aligned} f(x) &= \frac{A_0}{2} + \sum_{n=1}^{\infty} \left[ A_n \cos \left( \frac{n\pi}{l} x \right) + B_n \sin \left( \frac{n\pi}{l} x \right) \right] \\ &= \frac{l}{2} A_0 e_0(x) + \sum_{n=1}^{\infty} \sqrt{l} \left[ A_n e_{2n}(x) + B_n e_{2n+1}(x) \right] \end{aligned} \right\} \quad (4.17)$$

$$e_0 \cdot f = \int_{-l}^l dx e_0^*(x) f(x) = \frac{l}{2} A_0 = \sqrt{l} \cdot \frac{A_0}{2} \quad (4.18)$$

$$e_{2n} \cdot f = \sqrt{l} A_n \quad (4.19)$$

$$e_{2n+1} \cdot f = \sqrt{l} B_n \quad (4.20)$$

より、

$$\frac{A_0}{2} = \frac{1}{\sqrt{l}} \int_{-l}^l dx e_0^*(x) f(x) = \frac{1}{2l} \int_{-l}^l dx f(x) \quad (4.21)$$

$$\left. \begin{aligned} A_n &= \frac{1}{\sqrt{l}} \int_{-l}^l dx e_{2n+1}^*(x) f(x) = \frac{1}{l} \int_{-l}^l dx \cos \left( \frac{n\pi}{l} x \right) f(x) \end{aligned} \right\} \quad (4.22)$$

$$B_n = \frac{1}{\sqrt{l}} \int_{-l}^l dx e_{2n}^*(x) f(x) = \frac{1}{l} \int_{-l}^l dx \sin \left( \frac{n\pi}{l} x \right) f(x) \quad (4.23)$$

$\Downarrow$   
ここでの事実といつがまとめる。

数学では区間は有限だが、

「波」という分野では  $(-\infty, \infty)$  でもよい。

- (1)  $f(x)$  は本来、 $-l \leq x \leq l$  で定義されているが、Fourier 級数表示 (4.17) の右辺には、  
任意の実数  $x$  を代入できる。このように  $f(x)$  の定義域を  $(-\infty, \infty)$  に拡張すると、  
 $f(x)$  は周期  $2l$  の周期関数となる。つまり、 $f(x+2l) = f(x)$ 。

- (2) 奇関数、つまり  $f(x) = -f(-x)$  のとき、 $A_0 = A_1 = \dots = 0$  で  $B_n$  のみ残る。

- (3) 偶関数、つまり  $f(x) = f(-x)$  のとき、 $B_0 = B_1 = \dots = 0$  で  $A_n$  のみ残る。

P31. 三角関数は指數関数で表せる。したがって、固有関数も指數関数で表せる。

$$\cos kx = \operatorname{Re}(e^{ikx}), \quad \sin kx = \operatorname{Im}(e^{ikx})$$

$$\rightarrow e_n(x) = \frac{1}{\sqrt{2l}} e^{ik_n x} \quad (4.24)$$

$$k_n = \frac{n\pi}{l} \quad (n=0, \pm 1, \pm 2, \dots) \quad (4.25)$$

とすると。

$$f(x) = \sum_{n=-\infty}^{\infty} c_n e_n(x) = \sum_{n=-\infty}^{\infty} \frac{c_n}{\sqrt{2l}} e^{ik_n x} \quad (4.26) \text{ こ書H2.}$$

$$c_n = e_n \cdot f = \int_{-l}^l e_n^* f(x) dx = \frac{1}{\sqrt{2l}} \int_{-l}^l e^{-ik_n x} f(x) dx \quad (4.29)$$

↑ 複振幅性か。

→ これにより (4.21), (4.22), (4.23) が (4.29) のように表せる。

## 4.2 完全性とδ関数

ディリクレ条件を満たす関数は、フーリエ級数で式 (4.26) のように表せる。

$$f(x) = \sum_{n=-\infty}^{\infty} c_n e_n(x). \quad (e_n(x) = \frac{1}{\sqrt{2l}} e^{ik_n x})$$

→ 左辺の和で  $f(x)$  は “完全” に表される。

→ この完全性が保証される条件を考える。

直交性から得られる式 (4.29) を (4.26) に代入して和と積分の順序を入れ替えてみる。

$$\begin{aligned} f(x) &= \sum_{n=-\infty}^{\infty} \int_{-l}^l e_n^*(y) f(y) dy \quad e_n(x) \\ &= \int_{-l}^l dy \sum_{n=-\infty}^{\infty} e_n^*(y) e_n(x) f(y) \\ &\equiv \int_{-l}^l dy \delta(x-y) f(y) \end{aligned} \quad (4.30)$$

$$\text{ここで } \sum_{n=-\infty}^{\infty} e_n^*(y) e_n(x) = \delta(x-y) \quad (4.31)$$

これは  $f(x)$  とは無関係な関数。

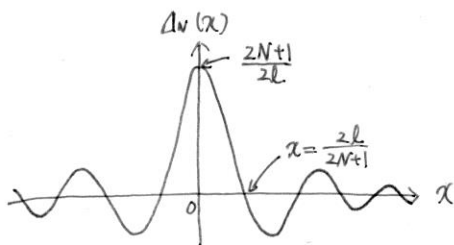
つまり、フーリエ級数の定理が成り立つには、 $e_n$ がこのような関数  $\delta(x-y)$  をもつて置くことが必要。

→ この関数を  $\delta$ 関数 (デルタ関数) と呼び。

→ 完全性はひとまず置いといふ。この  $\delta$ 関数は何なのか調べてみる。

$$\begin{aligned}
 \delta(x-y) &\equiv \sum_{n=-\infty}^{\infty} e_n^*(y) e_n(x) \\
 &= \frac{1}{2l} \sum_{n=-\infty}^{\infty} \exp[\tilde{x} k_n(x-y)] \\
 \text{等比数列} \quad &= \frac{1}{2l} \lim_{N \rightarrow \infty} \sum_{n=-N}^N \exp[\tilde{x} \cdot \frac{\pi}{l} (x-y)n] \\
 &= \frac{1}{2l} \lim_{N \rightarrow \infty} \frac{\exp[-\tilde{x} \cdot \frac{\pi}{l} (x-y)N] - \exp[\tilde{x} \cdot \frac{\pi}{l} (x-y)(N+1)]}{1 - \exp[\tilde{x} \cdot \frac{\pi}{l} (x-y)]} \\
 &= \frac{1}{2l} \lim_{N \rightarrow \infty} \frac{\exp[-\tilde{x} \cdot \frac{\pi}{l} (x-y)\frac{1}{2}] - \exp[\tilde{x} \cdot \frac{\pi}{l} (x-y)\frac{1}{2}]}{\exp[-\tilde{x} \cdot \frac{\pi}{l} (x-y)] - \exp[\tilde{x} \cdot \frac{\pi}{l} (x-y)]} \\
 &= \frac{1}{2l} \lim_{N \rightarrow \infty} \frac{\sin[(N+\frac{1}{2}) \cdot \frac{\pi}{l} (x-y)]}{\sin[\frac{\pi}{2l} \cdot (x-y)]} \\
 &\equiv \lim_{N \rightarrow \infty} A_N(x-y) \tag{4.32}
 \end{aligned}$$

$$\text{∴ } A_N(x) \equiv \frac{1}{2l} \cdot \frac{\sin[(N+\frac{1}{2}) \cdot \frac{\pi}{l} x]}{\sin(\frac{\pi}{2l} x)} \tag{4.33}$$



$N \rightarrow \infty$  となると  $A_N(x) \rightarrow \delta(x)$  となる

$$\delta(x) = \begin{cases} 0 & (x \neq 0) \\ \infty & (x=0) \end{cases} \tag{4.34}$$

となる。

また  $\delta$  関数はピークのまわりで積分すると 1 になる (教科書 P104)

$$\int_{-\varepsilon}^{\varepsilon} \delta(x) dx = 1 \quad (\varepsilon > 0) \quad (4.35)$$

↓

$\delta$  関数を含む積分は容易に実行できる。これに  $f(y)$  を (4.30) の成り立つことを示せ。 $\delta(x-y)$  は  $x=y$  かつ  $y=0$  のとき

$$\begin{aligned} \int_{-l}^l dy \delta(x-y) f(y) &= \int_{x-\varepsilon}^{x+\varepsilon} dy \delta(x-y) f(y) && \leftarrow \begin{array}{l} x-\varepsilon \leq y \leq x+\varepsilon \\ \text{ただし } \varepsilon > 0. \end{array} \\ &= f(x) && (4.36) \end{aligned}$$

である。

↓

話を戻すと、完全性が保証されるための条件は

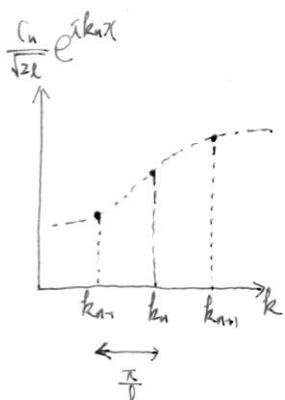
$$\sum_{n=-\infty}^{\infty} e_n^*(y) e_n(x) = \delta(x-y)$$

である。

### 4.3 フーリエ積分

$-l < x < l$  の関数はフーリエ級数で表せる。 $l \rightarrow \infty$  とすると  $-\infty < x < \infty$  の関数  $f(x)$  を指數関数  $e^{ik_n x}$  の和で表せる。この極限での和はどうなるのだろうか?

$$\text{有限区間: } f(x) = \sum_{n=-\infty}^{\infty} c_n e_n(x) = \sum_{n=-\infty}^{\infty} \frac{c_n}{\sqrt{2l}} e^{ik_n x}.$$



$$k_n = \frac{n\pi}{l} \quad \Delta k_n \equiv k_{n+1} - k_n = \frac{\pi}{l}.$$

$[k, k+dk]$  では高さはほぼ不变で近似でき、幅  $dk$  には  $\frac{dk}{\pi/l}$  個の  $k_n$  がある。その値 (面積?) は近似的に

$$\frac{f(k)}{\sqrt{2l}} e^{ikx} \frac{l}{\pi} dk$$

である。

$\ell \rightarrow \infty, dk \rightarrow 0$  の極限により、 $f(x)$  のフーリエ級数表示は。

すべての区間での和として、次のように積分表示でき。 $f(x)$  の定義域は  $(-\infty, \infty)$ 。

$$f(x) = \int_{-\infty}^{\infty} \frac{c(k)}{\sqrt{2\ell}} e^{ikx} \frac{\ell}{\pi} dk \equiv \underbrace{\frac{1}{\sqrt{2\pi}} \int_{-\infty}^{\infty} g(k) e^{ikx} dk}_{(4.55)}$$

$$(g(k) \equiv \frac{1}{\pi} c(k) \quad (4.56))$$

これを  $f(x)$  の フーリエ積分表示とい。また (nをとめる式 (4.29) を変形は、

$$g(k) = \lim_{l \rightarrow \infty} \frac{l}{\sqrt{\pi}} \frac{1}{\sqrt{2\ell}} \int_{-l}^l e^{-ikx} f(x) dx = \underbrace{\frac{1}{\sqrt{2\pi}} \int_{-\infty}^{\infty} f(x) e^{-ikx} dx}_{(4.57)}$$

となる。

→  $g(k)$  は  $f(x)$  の フーリエ変換であり、 $f(x)$  は  $g(k)$  の フーリエ変換である。

↓

フーリエ級数のとき同様、フーリエ積分の完全性と直交性を  
確かめてみよう。式 (4.55) と (4.57) を代入すると

$$f(x) = \frac{1}{2\pi} \int_{-\infty}^{\infty} dk \int_{-\infty}^{\infty} dy e^{ik(x-y)} f(y) \quad (4.63)$$

であるが、

$$\int_{-\infty}^{\infty} e_k^*(y) e_k(x) dk = \frac{1}{2\pi} \int_{-\infty}^{\infty} dk e^{ik(x-y)} = \delta(x-y)$$

が成り立つはずであり、実際、成り立つ。(教科書 P11 参照)

次に固有関数の直交性 (フーリエ級数なら  $\int_{-l}^l e_n^*(x) e_m(x) dx = \delta_{m,n}$ ) を言及する。

$$g(k) = \frac{1}{\sqrt{2\pi}} \int_{-\infty}^{\infty} f(x) e^{-ikx} dx = \frac{1}{2\pi} \int_{-\infty}^{\infty} dx \int_{-\infty}^{\infty} dk' g(k') e^{i(k-k')x}. \quad (4.68)$$

(フーリエ級数で (nをとめる式と同じ)。この式が常に成り立つ条件は。

$$\int_{-\infty}^{\infty} e_k^*(x) e_k(x) dx = \frac{1}{2\pi} \int_{-\infty}^{\infty} dx e^{i(k-k)x} = \delta(k-k)$$

であるはずだといふことだが、実際成立。

ただし フーリエ級数と違い、ローランのテリゲでは  $\delta$  関数である。

# 第5章 3次元の波動

## 5.1 空気の振動

この章からは、1次元の波ではなく、3次元の波を考えいく。その代表例が音である。

そこでは、空気中の音波の満たす波動方程式を導出し、解を考察する。



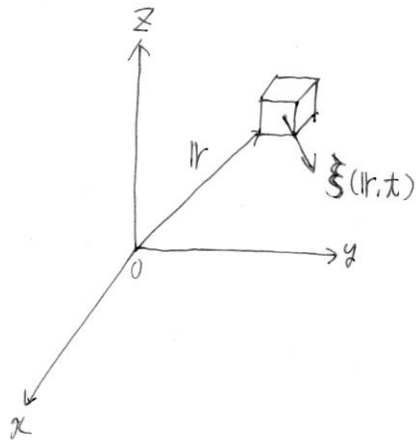
圧力の増減には気体の変位が伴う。それでは立式のために空間の各点で圧力と変位を定義ではあるのか？ 热力学的には圧力というのは巨視的な物理量だし、分子間距離スケールで見ると分子は個々に自由動きで向も走るといい。

→ そこで、圧力、変位などを考えときは、ある点のまわりのある程度の体積を考える。

→ 領域の大きさは、平均分子間距離 ( $\approx 3.3\text{ nm}$ ) より十分に大きく、音の波長 ( $0.77 \sim 0.017\text{ m}$ ) より十分に小さくなければいけない。

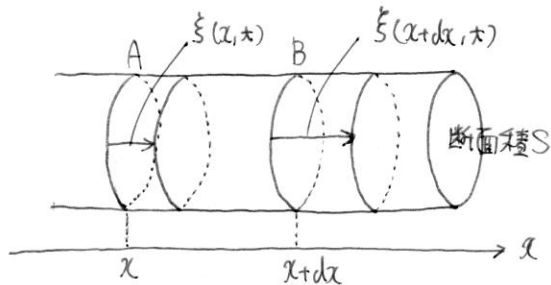
→ 領域の大きさ  $l$  は  $1\text{ }\mu\text{m}$  程度に取れば、これらの条件を十分に満たしている。

※ なお、これまでの強調通り、空気の変位  $\xi(r, t)$  はペクトル量である。



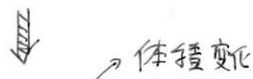
## 5.2 長い管の中の音波

さあ、それではいよいよ波動方程式を導いていこう。簡単のため、図のようなく $x$ 軸方向に伸びる円筒形の管の中の空気の振動を考える。  
空気は $x$ 軸方向にのみ変位するとして、 $x$ 軸に垂直な断面内では変位はすべて等しいとする。  
(1個 $1\mu\text{m}$ 程度の領域内の分子の重心が $x$ 方向のみ運動する考え方)



$$\text{このとき変位は, } \xi(x, y, z, t) = (\xi(x, 0, 0, t), 0, 0) \quad (5.1)$$

であり、変位の大きさは $y, z$ によらず $x$ で決まる。



場所( $x$ )に依存する変位 $\xi$ は密度変化を引き起こし、そして圧力変化が生じ、次の瞬間の空気の変位をもたらす。この変位が次の変位に移る過程を定式化すると、波動方程式が得られる。

### (1) AB間の体積の変化

空気の変位がないときの体積:  $V = S dx$

変位 $\xi$ に伴う体積変化

$$\begin{aligned}
 V + dV &= S [\xi(x+dx, t) + dx - \xi(x, t)] \quad \text{△} \rightarrow \text{△} \text{ 1行-展開 (ゆき)} \\
 &= S [dx + dx \frac{\partial \xi(x, t)}{\partial x}] \quad \leftarrow \\
 \therefore dV &= V \frac{\partial \xi(x, t)}{\partial x} \quad (5.3)
 \end{aligned}$$

P37 (2) AB間の領域の圧力の変化

次に体積変化を起因とする圧力変化を定式化する。

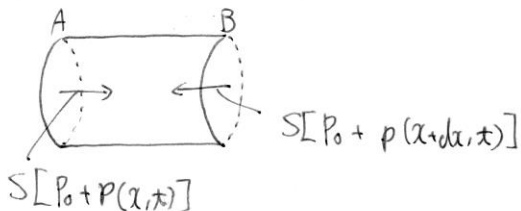
平衡状態での圧力を  $P_0$  とし、変位があるときの圧力を  $P = P_0 + p$  とする。

熱力学によれば、体積変化と圧力変化は比例関係にある。

$$p = -K \frac{dV}{V} = -K \frac{\partial \xi(x,t)}{\partial x} \quad (5.4)$$

( $K$ : 体積弾性率,  $\frac{1}{K}$  は圧縮率とよばれる)

(3) AB間の領域中の空気の運動方程式。



$$\begin{aligned} \text{合力} &= Sp(x,t) - Sp(x+dx,t) \\ &= -S \frac{\partial p(x,t)}{\partial x} dx \\ &= SK \frac{\partial^2 \xi(x,t)}{\partial x^2} dx. \end{aligned} \quad (5.5)$$

(4) ニュートン方程式（運動方程式）

以上(1)～(3)により、AB間の空気の運動方程式を立てよう。これは変位の2階時間微分である加速度を求めるつもりで運動方程式を立てる。

AB間の質量は密度を  $\rho$  とし  $V\rho = Sdx\rho$ 。よって運動方程式は。

$$V\rho \frac{\partial^2 \xi(x,t)}{\partial x^2} = SK \frac{\partial^2 \xi(x,t)}{\partial x^2} dx \quad (5.6)$$

$$\therefore \frac{\partial^2 \xi(x,t)}{\partial x^2} = \frac{K}{\rho} \frac{\partial^2 \xi(x,t)}{\partial x^2} \quad (5.7)$$

圧力変化  $p$  に対しては、

$$\frac{\partial^2 p(x,t)}{\partial x^2} = \frac{K}{\rho} \frac{\partial^2 p(x,t)}{\partial x^2} \quad \leftarrow \text{同形!!} \quad (5.8)$$

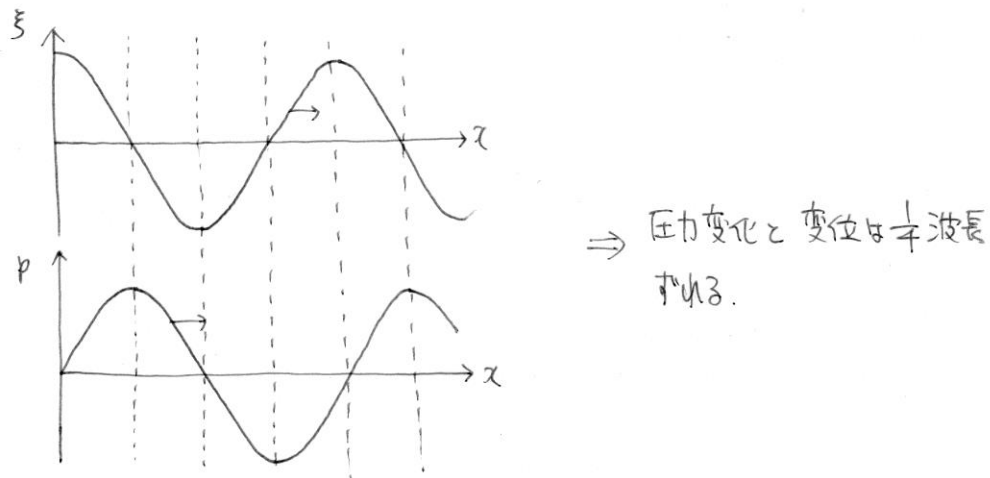
つまり、管内では音波は速度  $v = \sqrt{\frac{K}{\rho}}$  で伝わる。

\*教科書 P117～P125 は割愛するが、以上の議論の応用例でのべる。

NHK の時報で聞くこのときは  $\sin(\omega t + \alpha)$  と単一の角振動数で振動し、これを純音といふ。ここでは円筒中のこのような純音を表す波動方程式の解の様子を見よう。進行波型の解は波数  $k$  と  $\omega = kv$  を用ひる

$$\xi(x, t) = A \cos(kx - \omega t) + B \cos(kx + \omega t) \quad (5.15)$$

$$p(x, t) = -k \frac{\partial \xi}{\partial x} = kA k \sin(kx - \omega t) + kB k \sin(kx + \omega t) \quad (5.16)$$



### 5.3 3次元の波動方程式

ここまで円筒にだけ考察したが、円筒であることは、「一つの断面内では変位と圧力が全等しい」ということを以て使われてきた。



「進行方向に垂直な面内では変位 ξ の大きさや圧力変化 p が場所により等しい」という条件を保たまつ円筒の半径を無限に大きくしてもこれまでの考察は成立つ。

P39 このようにして得られる、無限に広い空間での解は 平面波解 と呼ばれる。

(例)  $x$  軸方向に進む純音の平面波

$$\left\{ \begin{array}{l} \xi(\mathbf{r}, t) = (\xi_x(\mathbf{r}, t), 0, 0) = (A \cos(kx - \omega t), 0, 0) \\ P(\mathbf{r}, t) = AKk \sin(kx - \omega t) \end{array} \right. \quad (5.26)$$

$$(w = kv) \quad (5.27)$$



平面波の定義: 進行方向に垂直な平面内で振動の位相が等しいこと。

→ 3次空間を伝播する波では、等しい位相をもつ面を定義でき、これを 波面 と呼ぶ。



今さらながら復習。

波数  $k [m^{-1}]$ :

2πを波長で割れば  
量であり、単位長さあたり  
の波の周期の数と  
等しい。

では、一般の進行方向の平面波はどうに表せるのか？

→ ベクトルを用いると座標軸の取り方に依存せずに表せる。

→ 進行方向を表すベクトル、波数ベクトルを導入する。

波数ベクトル: 大きさは波数に等しく、進行方向を向いたベクトル  $\mathbf{k}$ 。

具体的には、式(5.26)、(5.27)のときは、 $\mathbf{k} = (k, 0, 0)$  であり、これを用ひ、

波の位相に含まれる  $kx$  は内積  $\mathbf{k} \cdot \mathbf{r}$  で置き換えられる。

また  $\xi$  は  $\mathbf{k}$  に平行だが、式(5.26)、(5.27)は次のようになる。

$$\left\{ \begin{array}{l} \xi(\mathbf{r}, t) = A \frac{\mathbf{k}}{|\mathbf{k}|} \cos(\mathbf{k} \cdot \mathbf{r} - \omega t) \end{array} \right. \quad (5.28)$$

$$\left\{ \begin{array}{l} P(\mathbf{r}, t) = AKk \sin(\mathbf{k} \cdot \mathbf{r} - \omega t) \end{array} \right. \quad (5.29)$$

→ この形は座標軸の取り方とは無関係。

$$\checkmark \mathbf{k}^2 v^2 = \omega^2, \mathbf{k}^2 v^2 = (k_x^2 + k_y^2 + k_z^2) v^2 = \omega^2.$$

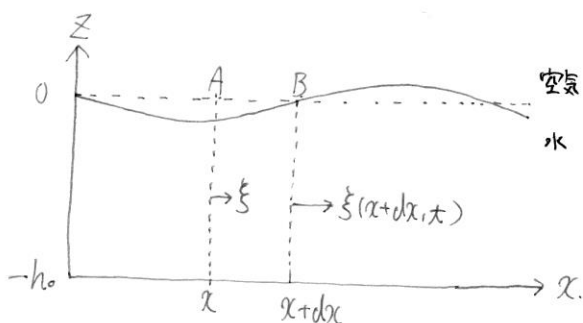
P40 教科書P31、「5.4.4 球面波」はここで割愛するが、非常に大切  
なので必ず読んでおいたい。

## 5.4 水の波

空気中同様、水中でも縦波が伝わる。しかし、水面の近くでは、これとは違う波、  
「表面波」が存在する。そこで水の表面波について考察する。



ここでは考察が比較的容易で、波動方程式で記述できる浅い水路での  
波を教える。



(進行方向(x軸)、鉛直方向(z軸)双方に垂直なy方向には単位長さの範囲がある。)

・仮定 (i) 水の変位は進行方向であるx軸方向に起り、その大きさは  
xと時間tにのみ依存し、深さにはよらず、 $\zeta(x, t)$ と書ける。

(ii) 水は非圧縮性であり、密度は変化しない。このため、両側から  
押された場所では水面が盛り上がる。

(iii) 水中の圧力は水面からの深さで決まる。

※この仮定の是非は結果に基づいて後で吟味する。

P41 それでは水の表面波の波动方程式を作りこつ。

- ・音波：変位 $\zeta$ と圧力の変化分 $p$ で現象を記述。
- ・水面波(今回)：変位 $\zeta$ と水面の高さ $\eta(x,t)$  ( $\rightarrow$ 圧力が $p_0 + \rho g \eta$ ) で現象を記述。  
ただし、微小振幅として  $|\eta(x,t)| \ll h_0$  とする。

↓

音波のときのように 変位  $\zeta$  → 次の変位に 到る過程を定式化する。

### (1) 変位による水面の変化

$$\text{波がないときの } AB \text{ 間の体積 } V = h_0 dx \quad (S, 60)$$

変位があるとき、非圧縮性から  $AB$  間の水の体積が  $V$  のままであることに注意すると、水面の高さは次のようになる。

$$[h_0 + \eta(x,t)] [dx + \xi(x+dx,t) - \xi(x,t)] = h_0 dx \quad (S, 61)$$

$$\therefore [h_0 + \eta] [dx + dx \frac{\partial \xi}{\partial x}] = h_0 dx$$

$$\therefore h_0 dx + \eta dx + h_0 dx \frac{\partial \xi}{\partial x} + \underbrace{\eta dx \frac{\partial \xi}{\partial x}}_{\Delta=0} = h_0 dx$$

$$\therefore \eta(x,t) = -h_0 \frac{\partial \xi(x,t)}{\partial x} \quad (S, 62)$$

### (2) 水面の変化による圧力の変化

水面の高さが  $\eta(x,t)$  のときの水面下で高さ $z$ の地点での圧力

$$p(x, z, t) = \underbrace{p_0}_{\text{大気压}} + \rho g [\eta(x,t) - z] \quad (S, 63)$$

↓

仮想的な膜Aに左側の水が及ぼす力は  $\nearrow$  壓力に面積が比例。

$$\begin{aligned} F(x,t) &= \int_{-h_0}^{\eta(x,t)} p(x, z, t) dz \\ &= p_0 [h_0 + \eta(x,t)] + \frac{1}{2} \rho g [h_0 + \eta(x,t)]^2 \\ &\approx \underbrace{p_0 h_0 + \frac{1}{2} \rho g h_0^2}_{\sim} + (\bar{p} + \rho g h_0) \eta(x,t) \end{aligned} \quad (S, 64)$$

膜Bの右側の水による力も同様に計算できる。

水にはこの他に AB間の水面に大気圧が作用している。水面が傾いているから、この力は水平方向の成分をもつ。その大きさは

$$F_s(x,t) = P_0 [\eta(x+dx,t) - \eta(x,t)]$$

$$\approx P_0 dx \frac{\partial \eta(x,t)}{\partial x} \quad (5.65)$$

$$P_0 \times \frac{\eta(x+dx,t) - \eta(x,t)}{l} \times l \times 1$$

### (3) 運動方程式

AB間の水の質量は  $\rho h_0 dx$  なので、運動方程式は、

$$\rho h_0 dx \frac{\partial^2 \zeta(x,t)}{\partial t^2} = F(x,t) - F(x+dx,t) + F_s(x,t)$$

$$= -\rho g h_0 \frac{\partial \eta(x,t)}{\partial x} dx. \quad (5.66)$$

これに (5.62) を代入すると、波動方程式

$$\frac{\partial^2 \zeta(x,t)}{\partial t^2} = g h_0 \frac{\partial^2 \zeta(x,t)}{\partial x^2} \quad (5.67)$$

が得られる。



浅い水の表面波は 波動方程式に従い、波の速さは  $v = \sqrt{gh_0}$  である。



では結果を考察してみよう!!

P43 初め表面波で当然起る水面の上下を無視し、水の運動は  
 $x$ 方向のみに制限したが、どのような場合に上下運動を無視できるのか？

→ 波動方程式の解として

$$\zeta(x,t) = A \cos(kx - \omega t) \quad (5.68)$$

すると、水面付近の水の変位  $\eta(x,t)$  は式(5.62)より

$$\begin{aligned} \eta(x,t) &= -h_0 \frac{\partial \zeta(x,t)}{\partial x} \\ &= Ah_0 k \sin(kx - \omega t) \end{aligned} \quad (5.69)$$

となる。

→  $\eta$  の振幅  $Ah_0k \ll \zeta$  の振幅  $A$  ならば上下運動は無視できる。

→  $k h_0 \ll 1$  すなはち 波長  $\lambda = \frac{2\pi}{k}$  に比べて水深  $h_0$  が十分に浅いにはよい。

ところで、この波動方程式は  $|\eta| \ll h_0$  を前提としている。しかし、普通、海などの水面で目にする波は、波長と上下方向の振幅が同程度のように見える。

→ 水深が深い場合の考察が必要。



式(5.68), (5.69)によれば、波長に比べて深い水路では、表面付近の水は上下につぶれた橋円軌道に沿って運動する。

→ ここで、水路の深さ  $h_0$  が増すか波長が短くなると橋円は上下に膨み、これまでの近似は不適。

→ 水面付近の動きは、水深の増加に合わせて連続的に円軌道に近づいていくと考えられる。

→ 一方、底付近はもとより上下に動かないし、水深が深く、と表面の動きの影響は受けない。

→ 軌道半径は、波数  $k$  の波では表面からの深さ  $h_0$  に対して  $e^{-kz}$  という形で減少する

→ 詳しくは教科書の付録[H]で！

# 第6章 波の干涉

さあ、いよいよ最終章です。長かったですね～。  
 ちなみに第6章のスタートは教科書ではP163。ということはこのシケプリはおよそ本から2年か?  
 なかなかコンパクトに収まっていますね～。こうゆうわけでラストです!! もうひとつなんぱりです!!

波は重ね合わせることができるが、そのとき起こる現象を総称して干渉といふ。

干渉によく余分な場所の波が消えてしまうので、有限の長さの波ができる。

逆に 単色波でも有限の長さになると、必然的に違う波数の波を含むことになる。

平面波の波面は無限に広がって平面であるが、この広がりを制限すると、斜め方向の波数ベクトルの波が混ざることになる。これが回折という現象である。

## 6.1 波束と群速度

有限の長さの波は、狭い範囲の波数の波の重ね合わせで作られる。

そのように作った波が進む速さは、一般的には元の波とは別の速度をもつ。

話を簡単にため、再び1次元の波に限る。



まず、直感的な説明からしていく。1次元の波とし表せる弦の変位、空気の変位、電磁波の成分の1つなどを進行方向にx軸ととり、 $\xi(x, t)$ と書く。最も簡単な波は

$$\begin{aligned}\xi(x, t) &= A \cos(kx - \omega_k t) \\ &= A \operatorname{Re}(e^{i(kx - \omega_k t)})\end{aligned}\quad (6.1)$$

である。(单一の波数  $k$  をもち、单一の振動数  $\omega_k$  で振動する単色波)

時空間的には  $-\infty < x < \infty$ ,  $-\infty < t < \infty$  で存在するが、時間はビッグバンを  $t = 0$  としているし、宇宙空間全土にまたがる波などない。

→ 現実の波は有限の時空。そのような波は単色波の重ね合わせで作られている。

P45 実際、 $x$ 軸方向に進む波は  $t=0$  で  $\xi(x, 0)$  と  $x$  のみの関数で表せるとし、この  $\xi(x, 0)$  がどのようなものであるか、フーリエ積分で表せることは第4章で示した。

$$\xi(x, 0) = \frac{1}{2} \cdot \frac{1}{\sqrt{2\pi}} \int_{-\infty}^{\infty} dk g(k) e^{ikx} = \operatorname{Re} \left[ \frac{1}{\sqrt{2\pi}} \int_0^{\infty} dk g(k) e^{ikx} \right] \quad (6.2)$$

この波の時間発展は次式のように単色波の重ね合わせで与えられる。

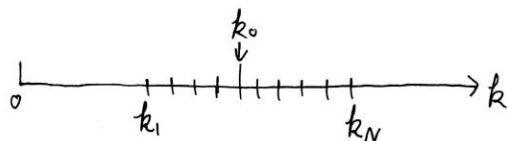
$$\xi(x, t) = \operatorname{Re} \left[ \frac{1}{\sqrt{2\pi}} \int_0^{\infty} dk g(k) e^{i(kx - \omega_k t)} \right] \quad (x > 0) \quad (6.3)$$



このような一般的の波はある種の波数の波が重ね合っている場合もあるが、それではなくて狭い範囲の波数のみの和から成る波を特に波束と呼ぶ。  
→ ここでこれを波束について説明しよう。

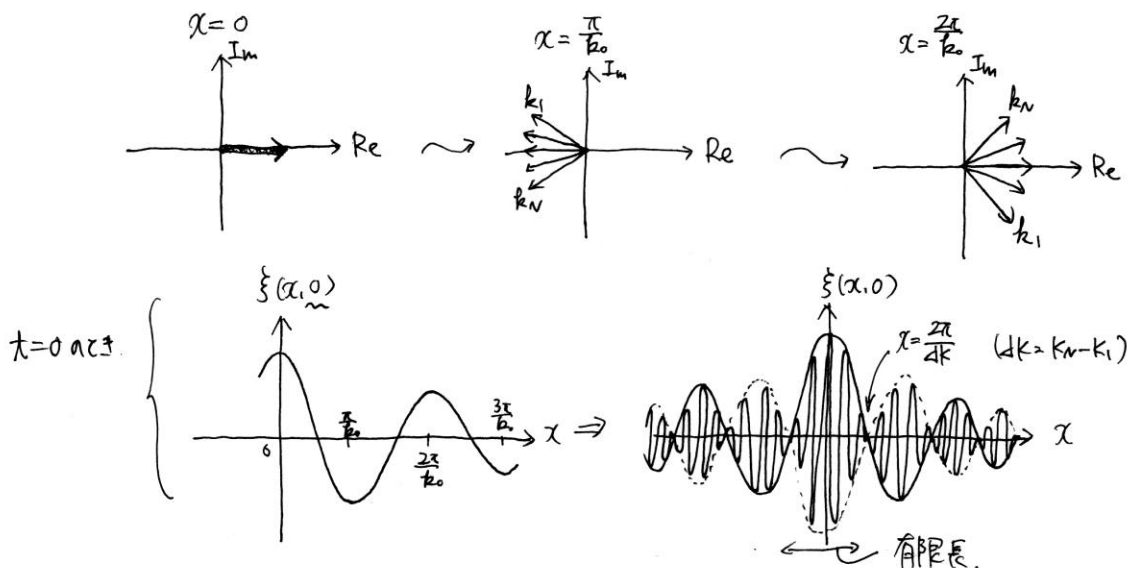


まずフーリエ積分の代わりに、波数  $k_0$ を中心とする、 $N$ 個の単色波の和を考える。



$$\xi(x, t) = \operatorname{Re} \left( \sum_{n=1}^N A_n e^{i(k_n x - \omega_n t)} \right) \quad (6.4)$$

簡単のため全  $A_n = 1$  とす。各  $e^{i(k_n x - \omega_n t)}$  を複素平面上のベクトルとすると、有限の  $x$  では ( $x > 0$ )、個々の波を表すベクトルは反時計回りに複素平面上を回転する。  
→  $x$  が大きいほど位相のはつきが大きくなる。



次に  $\lambda \neq 0$  のときを考える。個々の単色波の速度  $v_n = \frac{\omega_n}{k_n}$  が一定値  $v$  に等しい場合は、個々の波は  $e^{ik_n(x-vt)}$  と書けますが、波全体がして走ることは自明。



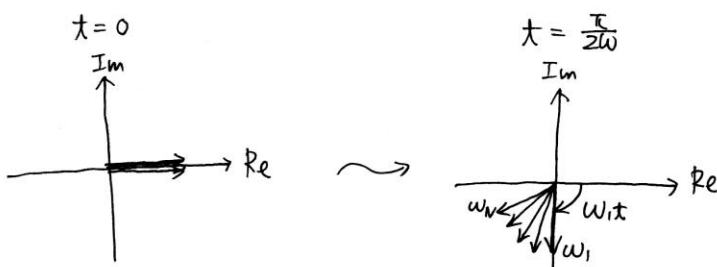
水の表面波のように  $v(k) = \frac{\omega(k)}{k}$  が一定でない場合も少々面白いことが起こる。

→ 個々の波の速度が異なる波の振る舞いを見るために、まず  $x=0$  で時間変化を見る。

→  $\xi(0, t) = \operatorname{Re} \left( \sum_{n=1}^N e^{-i\omega_n t} \right)$  であり  $\omega_n$  は全てが異なる。

→ 今度は個々の波は複素平面上の半径 1 の円周上を時計回りに動き、時間経過に伴て波の位相はばらけた

→ 重ね合わせた波は時間とともに小さくなっていく。



そこでは  $x=0, t>0$  では重ね合った波は他の地点  $x$  ではどうなっているのか？

$\xi(x, t) = \operatorname{Re} \left( \sum_{n=1}^N e^{i(k_n x - \omega_n t)} \right)$  の  $x$  依存性を調べてみる。

→  $x$  が大きくなると個々の波を示す矢印(ヘクトル)は反時計回りに回転する ( $\because k_n x - \omega_n t > 0$ ) このとき重ね合った位相は大きな波数  $k$  をもつ ( $\because k_n x - \omega_n t$  が小さいのは  $\omega_n$  が大きい、つまり  $k_n$  が大きいから)、徐々に前の矢印に追いつき、適当な距離  $x$  で、ばらけていたのが戻ってくる。



そこなれば、いつ位相がそろうのか？ それは全ての構成波の位相  $k_n x - \omega_n t$  が  $\pi/2$  にならないところである。

p47. それでは  $\eta$  はどのように書き換へる。

$$k_n = k_0 + \Delta k_n \quad (6.5)$$

すると 波束では  $|\Delta k_n| \ll k_0$  ( $\therefore$  狹い範囲) ので  $\omega_n$  は次のように近似できる。

$$\omega_n = \omega_0 + \frac{dw}{dk} \Delta k_n \quad \leftarrow \text{これはテイラー展開。} \quad (6.6)$$

これより、

$$k_n(\omega - \omega_n t) = (k_0 x - \omega_0 t) + \Delta k_n \left( x - \frac{dw}{dk} t \right) \quad (6.7)$$

$\rightarrow x - \frac{dw}{dk} t = 0$   $\underbrace{\text{z}}_{\text{位相は } \eta \text{ によらない}},$  このが波束の振幅が一番大きいところとなる。この式からわかるように、波の中心は

$$v_g = \frac{dw}{dk} \quad (6.8)$$

で移動し、この移動速度を 群速度 と呼ぶ。



ところで、個々の単色波の進む速さ

$$v_p = \frac{\omega_n}{k_n} \simeq \frac{\omega_0}{k_0} \quad (6.9)$$

を位相速度と呼ぶ。位相速度は波束の位相が常に一定の場所が進む速度である。(例:  $x=0$  の点が進み速度)



さてさて、それでは数式を用いてもう少し具体的に見ていく。

(1) 数式による取り扱い(その1): 2つの進行波の合成。

最初に簡単な例として、 $k \pm \frac{1}{2}\Delta k$ ,  $\omega \pm \frac{1}{2}\Delta \omega$  の2つの波の合成を考える(うなりと同じ)

$$\xi(x, t) = \operatorname{Re} \left[ \sum \xi(x, t) \right]$$

とする。

このとき  $\zeta$  は次のようになる。

$$\begin{aligned}\zeta(x, t) &= \alpha e^{i[k + \frac{1}{2}dk]x - (w + \frac{1}{2}dw)t} + \alpha e^{i[k - \frac{1}{2}dk]x - (w - \frac{1}{2}dw)t} \\ &= \alpha e^{i(kx - wt)} \left( e^{i(\frac{1}{2}dkx - \frac{1}{2}dw t)} + e^{-i(\frac{1}{2}dkx - \frac{1}{2}dw t)} \right) \\ &= 2\alpha \cos\left(\frac{dk}{2}x - \frac{dw}{2}t\right) e^{i(kx - wt)}\end{aligned}\quad (6.10)$$

→  $2\alpha \cos\left(\frac{dk}{2}x - \frac{dw}{2}t\right)$  は  $dk$  と  $dw$  が小さいときは、時間、空間的にゆっくり変化する量で、この部分は振幅と見なせる。(包絡関数)

→ 波は、この振幅で押さえられた範囲で  $e^{i(kx-wt)}$  による速い振動を行う。

→ この振幅の進行速度(群速度)は

$$v_g = \frac{dw}{dk} = \frac{dw}{dk} \quad (6.12)$$

であるが、波のゼロ点や極値となる所には  $e^{i(kx-wt)}$  の位相次第なので位相速度  $v_p = \frac{w}{k}$  である。 $(\rightarrow v_p \neq v_g)$  が不思議な選び方ですね) ← 任意的な?

(2) 數式による取り扱い(その2)：N個の進行波の合成。

直感的な説明のとおり、 $k_1 \leq k \leq k_N$  の範囲の N 個の波を同振幅で足し合わせた。

ここでは N が十分大きいといふ。→ 積分といふ次の波束を意味する。

$$\begin{aligned}\zeta(x, t) &= \operatorname{Re}[\zeta(x, t)] \\ \zeta(x, t) &= \int_{k_0 - \frac{dk}{2}}^{k_0 + \frac{dk}{2}} e^{i[kx - w(k)t]} dk\end{aligned}\quad (6.13)$$

これは  $t=0$  なら積分は容易だが、大きくなる  $w(k)$  を走らせる必要がある。

→ ここで「波束」であることを利用して、つまり  $dk$  が十分小さいことを利用して

$$w(k) \simeq w(k_0) + (k - k_0)v_g \quad (v_g = \frac{dw}{dk}) \quad (6.14)$$

とテイラー展開(いつも何が微分係数と言ふのかいいか?) として積分式に代入する。

$$\begin{aligned}
 \xi(x, t) &= \int_{k_0 - \frac{\Delta k}{2}}^{k_0 + \frac{\Delta k}{2}} e^{i[kx - w(k_0)t - (k - k_0)v_g t]} dk \\
 &= \int_{k_0 - \frac{\Delta k}{2}}^{k_0 + \frac{\Delta k}{2}} e^{i k (x - v_g t)} \underbrace{e^{i [k_0 v_g t - w(k_0)] t}}_{\text{定数項}} dk \\
 &= \frac{1}{i(x - v_g t)} \left( e^{i \frac{\Delta k}{2} (x - v_g t)} - e^{-i \frac{\Delta k}{2} (x - v_g t)} \right) \times e^{i [k_0 (x - v_g t) + i [k_0 v_g - w(k_0)] t]} \\
 &= 2 \cdot \frac{\sin \left[ \frac{\Delta k}{2} (x - v_g t) \right]}{x - v_g t} \cdot e^{i [k_0 x - w(k_0) t]} \quad (6.15)
 \end{aligned}$$

この式

$$\xi(x, t) = 2 \cdot \underbrace{\frac{\sin \left[ \frac{\Delta k}{2} (x - v_g t) \right]}{x - v_g t}}_{(*)} \cdot \underbrace{\cos \left[ k_0 x - w(k_0) t \right]}_{(**)} \quad (6.16)$$

→ 群速度  $v_g$  で進む包絡関数 (\*) に囲まれた内側を (\*\*) で表される波が、位相速度  $v_p = \frac{w(k_0)}{k_0}$  で進行する様子が表式で再現できた。

※ 教科書や172では、「数式による取り扱い(その3)」といふ「ガウス型の波束」が取り挙げられているが、試験に出そうな予感をするので必ず学習しておいた方がいい。(例によくこのシケアリでは割愛。)

## 6.2 回折

波は種類によらず、波長と同程度以下の狭い隙間(スリット)や穴を通過したあとで、進行方向が広がるという現象を示す。

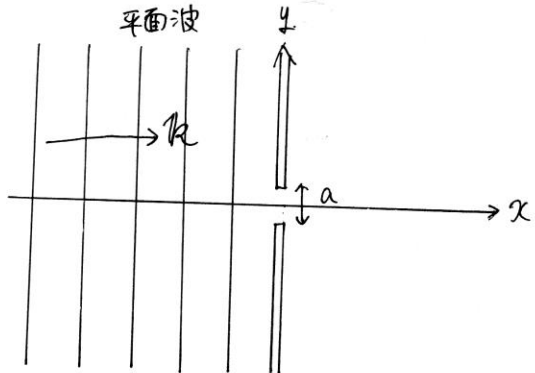


まずこのスリットによる回折を考える。3次元空間を  $x$  軸方向に進む平面波が  $x=0$  (すなはちスリットを通じたあと) どのように広がるかを調べる。

p50.  $x < 0$  の平面波は次式で表される。

$$\xi(r, t) = \operatorname{Re} (A e^{i(kr - \omega t)}) = A \cos(kr - \omega t) \quad (6.44)$$

(波の速さを  $c$  とすると  $c k = \omega$ )

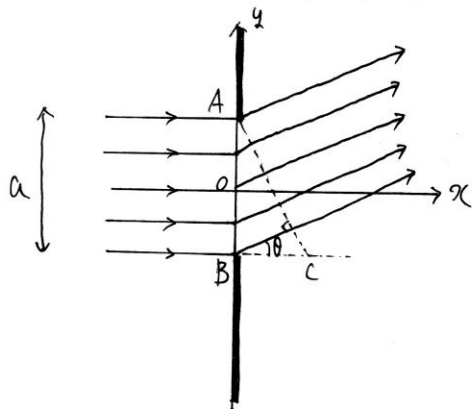


まず広がりを見積もる。

直感的に理解するなら、スリットを  $A \cos \omega t$  で振動する点波源とみる。そこから球面波あるいは円形の波が広がっていくとしてよい。



スリット幅が有限のときは、スリットを  $N$  個に分割して、それらを十分小さなスリットと見なす。重ね合わせにより干涉が起こり、方向によっては振幅がゼロとなるのが広がりに制限がつく。  
→ 原点から距離  $r (\gg a)$  の点  $P = (r \cos \theta, r \sin \theta, 0)$  に到達する波を考える。



$O$  を通じた波の  $P$  の位相:  $k r - \omega t$

$$A \quad : k r - \omega t - \frac{ka}{2} \sin \theta$$

$$B \quad : k r - \omega t + \frac{ka}{2} \sin \theta$$

すなはちスリットを  $N \gg 1$  回に分割したときは、 $N$  番目の波の位相差  $\phi_n$  は、

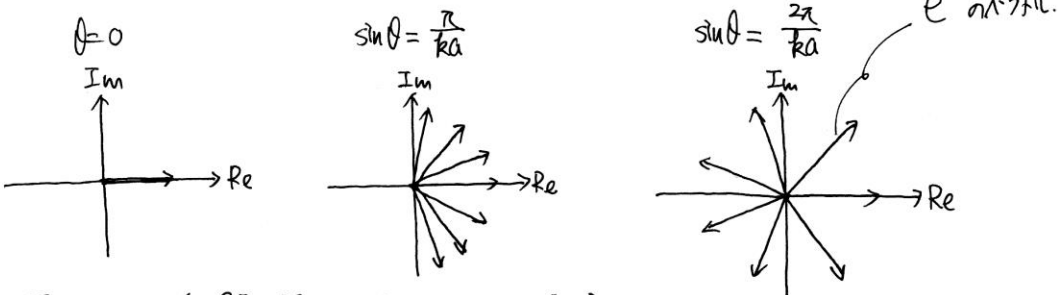
$$\phi_n = \left( \frac{n}{N} - \frac{1}{2} \right) ka \sin \theta \quad (1 \leq n \leq N) \quad (6.45)$$

であり、重ね合わせて波は、係數を  $R$  に以て

$$\operatorname{Re} \left( \sum_{n=1}^N e^{i(kr-wt)+i\phi_n} \right) = \operatorname{Re} \left( e^{i(kr-wt)} \sum_{n=1}^N e^{i\phi_n} \right) \quad (6.46)$$

となり、振幅は  $\left| \sum_{n=1}^N e^{i\phi_n} \right|$  に比例する。

→ この和は  $\theta$ とともにどう変化するのか？



→  $\sin \theta$  の増加により経路の長さが変化するため位相がはさむけた。

↓  
そしては数式によく厳密に取り扱ってみる。

式(6.44)の平面波が入射したとき、スリット通過直後の波は次式で与えられる。

$$\begin{aligned} \xi(r, t) &= \begin{cases} 0 & (y < -\frac{a}{2}) \\ \operatorname{Re} (A e^{i(kr-wt)}) & (-\frac{a}{2} \leq y \leq \frac{a}{2}) \\ 0 & (y > \frac{a}{2}) \end{cases} \\ &\equiv f(y) \operatorname{Re} (A e^{i(kr-wt)}) \end{aligned} \quad (6.47)$$

$f(y)$  はスリット開口部の形とよび関数。アーベラント分である。

$$\begin{aligned} f(y) &= \begin{cases} 0 & (y < -\frac{a}{2}) \\ 1 & (-\frac{a}{2} \leq y \leq \frac{a}{2}) \\ 0 & (y > \frac{a}{2}) \end{cases} \\ &= \frac{1}{2\pi} \int_{-\infty}^{\infty} dk_y g(k_y) e^{ik_y y} \end{aligned} \quad (6.48)$$

152 さて  $g(k_y)$  は次のようになる。

$$\begin{aligned}
 g(k_y) &= \frac{1}{\sqrt{2\pi}} \int_{-\infty}^{\infty} f(y) e^{-ik_y y} dy \\
 &= \frac{1}{\sqrt{2\pi}} \int_{-\frac{a}{2}}^{\frac{a}{2}} e^{-ik_y y} dy \\
 &= \frac{1}{\sqrt{2\pi}} \cdot \frac{e^{-ik_y \frac{a}{2}} - e^{ik_y \frac{a}{2}}}{-ik_y} \\
 &= \frac{\sqrt{2}}{\pi} \cdot \frac{\sin(\frac{a}{2} k_y)}{k_y} \quad (6.49)
 \end{aligned}$$

この結果  $f(y)$  は

$$f(y) = \frac{1}{\pi} \int_{-\infty}^{\infty} dk_y \frac{\sin(\frac{a}{2} k_y)}{k_y} e^{ik_y y}. \quad (6.50)$$

となる。これを用いるとスリット通過直後の波の式は次のようになる。

$$\xi(r, t) = \frac{1}{\pi} \operatorname{Re} \left[ \int_{-\infty}^{\infty} dk_y \frac{\sin(\frac{a}{2} k_y)}{k_y} A e^{i(kx + k_y y - wt)} \Big|_{x=0} \right] \quad (6.51)$$

↓

スリット手前では  $k_r = (k_x, 0, 0)$  たゞみ波が、スリットを通過することで、通過直後の波の y 方向の広がりは幅  $a$  の範囲に限定されてしまった。

→ このため、波束の広がりの反比例関係により y 方向の波数に広がりが生じ、

波は有限の大きさの  $k_y$  をもつ波の重ね合わせとなる。

→ 有限の  $k_y$  の波は斜めに進むこととなり、これが 回折現象である。



式 (6.51) はスリット通過直後である。次は  $x > 0$  の波の式を求める。

波の満足条件は。

(1)  $x=0$  の波の式が (6.51) に一致すること (境界条件)

(2)  $x > 0$  波動方程式を満足すること。

である。

このためには 波を次のように表せばいい。

$$\xi(r, t) = \frac{1}{\pi} \operatorname{Re} \left[ \int_{-\infty}^{\infty} dk_y \frac{\sin(\frac{a}{2}k_y)}{k_y} A e^{i(k_x x + k_y y - \omega t)} \right] \quad (6.52)$$

$$(k = (k_x, k_y, 0) \text{ または } k = (k_x, -k_y, 0) \text{ のみ})$$

$x$  方向の波数  $k_x$  を  $C^2(k_x^2 + k_y^2) = C^2 k^2 = \omega^2$  を満たすよう決めておこう。  
波动方程式は成立。  $k_x$  を具体的に書いて。

$$k_x = \begin{cases} \sqrt{k^2 - k_y^2} & (|k_y| < k) \\ i\sqrt{k_y^2 - k^2} & (|k_y| > k) \end{cases} \quad (6.53)$$

→ 回折波は 平面波と減衰する波の和によって  $x > 0$  の全領域で正しく記述される。  
 $|k_y| < k$        $|k_y| > k$



最後にスリットより十分遠方での波の広がりを見積もる。

$x$  軸から  $y$  方向へ進む波は  $y$  方向の波数が  $k_y = k \sin \theta$  であるものである。

この  $k_y$  でも平面波の振幅は式(6.52)だ

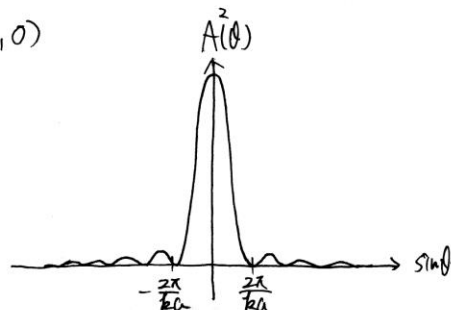
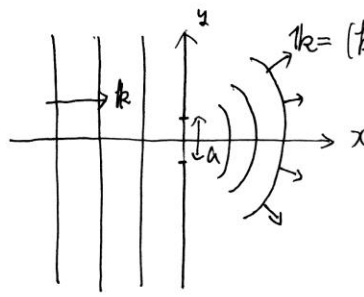
$$\frac{\sin(\frac{a}{2}k_y)}{k_y} \quad (6.54)$$

に比例し、これは  $\theta$  を用いて表す。

$$A(\theta) \equiv \frac{\sin(\frac{a}{2}k \sin \theta)}{k \sin \theta} \quad (6.55)$$

図3.

→  $a < \lambda \Rightarrow x > 0$  の全方向に広がるが、  $a \gg \lambda \Rightarrow$  波はほとんど広がらず直進する。



おり